

Vorlesungsskript  
Graphalgorithmen

Sommersemester 2017

Prof. Dr. Johannes Köbler  
Sebastian Kuhnert

Humboldt-Universität zu Berlin  
Lehrstuhl Komplexität und Kryptografie

15. Juni 2017

# Inhaltsverzeichnis

<b>1</b>	<b>Graphentheoretische Grundlagen</b>	<b>1</b>
<b>2</b>	<b>Färben von Graphen</b>	<b>3</b>
2.1	Färben von planaren Graphen . . . . .	4
2.2	Färben von chordalen Graphen . . . . .	10
2.3	Kantenfärbungen . . . . .	15
2.4	Der Satz von Brooks . . . . .	18
<b>3</b>	<b>Flüsse in Netzwerken</b>	<b>19</b>
3.1	Der Ford-Fulkerson-Algorithmus . . . . .	20
3.2	Der Edmonds-Karp-Algorithmus . . . . .	24
3.3	Der Algorithmus von Dinitz . . . . .	26

# 1 Graphentheoretische Grundlagen

**Definition 1.1.** Ein (**ungerichteter**) **Graph** ist ein Paar  $G = (V, E)$ , wobei

$V$  - eine endliche Menge von **Knoten/Ecken** und

$E$  - die Menge der **Kanten** ist.

Hierbei gilt

$$E \subseteq \binom{V}{2} = \{\{u, v\} \subseteq V \mid u \neq v\}.$$

Sei  $v \in V$  ein Knoten.

a) Die **Nachbarschaft** von  $v$  ist  $N_G(v) = \{u \in V \mid \{u, v\} \in E\}$ .

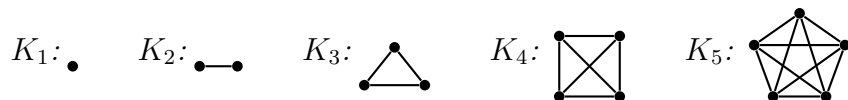
b) Der **Grad** von  $v$  ist  $\deg_G(v) = \|N_G(v)\|$ .

c) Der **Minimalgrad** von  $G$  ist  $\delta(G) = \min_{v \in V} \deg_G(v)$  und der **Maximalgrad** von  $G$  ist  $\Delta(G) = \max_{v \in V} \deg_G(v)$ .

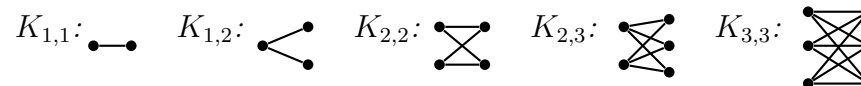
Falls  $G$  aus dem Kontext ersichtlich ist, schreiben wir auch einfach  $N(v)$ ,  $\deg(v)$ ,  $\delta$  usw.

**Beispiel 1.2.**

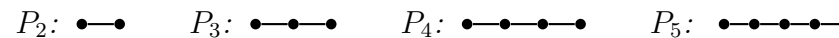
- Der **vollständige Graph**  $(V, E)$  auf  $n$  Knoten, d.h.  $\|V\| = n$  und  $E = \binom{V}{2}$ , wird mit  $K_n$  und der **leere Graph**  $(V, \emptyset)$  auf  $n$  Knoten wird mit  $E_n$  bezeichnet.



- Der **vollständige bipartite Graph**  $(A, B, E)$  auf  $a + b$  Knoten, d.h.  $A \cap B = \emptyset$ ,  $\|A\| = a$ ,  $\|B\| = b$  und  $E = \{\{u, v\} \mid u \in A, v \in B\}$  wird mit  $K_{a,b}$  bezeichnet.



- Der **Pfad** mit  $n$  Knoten wird mit  $P_n$  bezeichnet.



- Der **Kreis** mit  $n$  Knoten wird mit  $C_n$  bezeichnet.



**Definition 1.3.** Sei  $G = (V, E)$  ein Graph.

- a) Eine Knotenmenge  $U \subseteq V$  heißt **unabhängig** oder **stabil**, wenn es keine Kante von  $G$  mit beiden Endpunkten in  $U$  gibt, d.h. es gilt  $E \cap \binom{U}{2} = \emptyset$ . Die **Stabilitätszahl** ist

$$\alpha(G) = \max\{\|U\| \mid U \text{ ist stabile Menge in } G\}.$$

- b) Eine Knotenmenge  $U \subseteq V$  heißt **Clique**, wenn jede Kante mit beiden Endpunkten in  $U$  in  $E$  ist, d.h. es gilt  $\binom{U}{2} \subseteq E$ . Die **Cliquenzahl** ist

$$\omega(G) = \max\{\|U\| \mid U \text{ ist Clique in } G\}.$$

- c) Ein Graph  $G' = (V', E')$  heißt **Sub-/Teil-/Untergraph** von  $G$ , falls  $V' \subseteq V$  und  $E' \subseteq E$  ist. Im Fall  $V' = V$  schreiben wir für  $G'$  auch  $G - E''$  (bzw.  $G = G' \cup E''$ ), wobei  $E'' = E - E'$  die Menge der aus  $G$  entfernten Kanten ist. Im Fall  $E'' = \{e\}$  schreiben wir für  $G'$  auch einfach  $G - e$  (bzw.  $G = G' \cup e$ ).

- d) Ein Subgraph  $G' = (V', E')$  heißt (**durch  $V'$** ) **induziert**, falls  $E' = E \cap \binom{V'}{2}$  ist. Für  $G'$  schreiben wir dann auch  $G[V']$  oder  $G - V''$ , wobei  $V'' = V - V'$  die Menge der aus  $G$  entfernten Knoten ist. Ist  $V'' = \{v\}$ , so schreiben wir für  $G'$  auch einfach  $G - v$  und im Fall  $V' = \{v_1, \dots, v_k\}$  auch  $G[v_1, \dots, v_k]$ .

## 1 Graphentheoretische Grundlagen

- e) Ein **Weg** ist eine Folge von (nicht notwendig verschiedenen) Knoten  $v_0, \dots, v_\ell$  mit  $\{v_i, v_{i+1}\} \in E$  für  $i = 0, \dots, \ell - 1$ , der jede Kante  $e \in E$  höchstens einmal durchläuft. Die **Länge** des Weges ist die Anzahl der durchlaufenen Kanten, also  $\ell$ . Im Fall  $\ell = 0$  heißt der Weg **trivial**. Ein Weg  $v_0, \dots, v_\ell$  heißt auch  **$v_0$ - $v_\ell$ -Weg**.
- f) Ein Graph  $G = (V, E)$  heißt **zusammenhängend**, falls es für alle Paare  $\{u, v\} \in \binom{V}{2}$  einen  $u$ - $v$ -Weg gibt.  $G$  heißt  **$k$ -zusammenhängend**,  $1 < k < n$ , falls  $G$  nach Entfernen von beliebigen  $l \leq \min\{n - 1, k - 1\}$  Knoten immer noch zusammenhängend ist.
- g) Ein **Zyklus** ist ein  $u$ - $v$ -Weg der Länge  $\ell \geq 2$  mit  $u = v$ .
- h) Ein Weg heißt **einfach** oder **Pfad**, falls alle durchlaufenen Knoten verschieden sind.
- i) Eine Menge von Pfaden heißt **knotendisjunkt**, wenn je zwei Pfade in der Menge höchstens gemeinsame Endpunkte haben, und **kantendisjunkt**, wenn sie keine gemeinsame Kanten haben.
- j) Ein **Kreis** ist ein Zyklus  $v_0, v_1, \dots, v_{\ell-1}, v_0$  der Länge  $\ell \geq 3$ , für den  $v_0, v_1, \dots, v_{\ell-1}$  paarweise verschieden sind.
- k) Ein Graph  $G = (V, E)$  heißt **kreisfrei**, **azyklisch** oder **Wald**, falls er keinen Kreis enthält.
- l) Ein **Baum** ist ein zusammenhängender Wald.
- m) Jeder Knoten  $u \in V$  vom Grad  $\deg(u) \leq 1$  heißt **Blatt** und die übrigen Knoten (vom Grad  $\geq 2$ ) heißen **innere Knoten**.

Es ist leicht zu sehen, dass die Relation

$$Z = \{(u, v) \in V \times V \mid \text{es gibt in } G \text{ einen } u\text{-}v\text{-Weg}\}$$

eine Äquivalenzrelation ist. Die durch die Äquivalenzklassen von  $Z$  induzierten Teilgraphen heißen die **Zusammenhangskomponenten** (engl. *connected components*) oder einfach Komponenten von  $G$ .

**Definition 1.4.** Ein **gerichteter Graph** oder **Digraph** ist ein Paar  $G = (V, E)$ , wobei

$V$  - eine endliche Menge von **Knoten/Ecken** und  
 $E$  - die Menge der **Kanten** ist.

Hierbei gilt

$$E \subseteq V \times V = \{(u, v) \mid u, v \in V\},$$

wobei  $E$  auch Schlingen  $(u, u)$  enthalten kann. Sei  $v \in V$  ein Knoten.

- a) Die **Nachfolgermenge** von  $v$  ist  $N^+(v) = \{u \in V \mid (v, u) \in E\}$ .
- b) Die **Vorgängermenge** von  $v$  ist  $N^-(v) = \{u \in V \mid (u, v) \in E\}$ .
- c) Die **Nachbarmenge** von  $v$  ist  $N(v) = N^+(v) \cup N^-(v)$ .
- d) Der **Ausgangsgrad** von  $v$  ist  $\deg^+(v) = \|N^+(v)\|$  und der **Eingangsgrad** von  $v$  ist  $\deg^-(v) = \|N^-(v)\|$ . Der **Grad** von  $v$  ist  $\deg(v) = \deg^+(v) + \deg^-(v)$ .
- e) Ein (**gerichteter**)  **$v_0$ - $v_\ell$ -Weg** ist eine Folge von Knoten  $v_0, \dots, v_\ell$  mit  $(v_i, v_{i+1}) \in E$  für  $i = 0, \dots, \ell - 1$ , der jede Kante  $e \in E$  höchstens einmal durchläuft.
- f) Ein (**gerichteter**) **Zyklus** ist ein gerichteter  $u$ - $v$ -Weg der Länge  $\ell \geq 1$  mit  $u = v$ .
- g) Ein gerichteter Weg heißt **einfach** oder (**gerichteter**) **Pfad**, falls alle durchlaufenen Knoten verschieden sind.
- h) Ein (**gerichteter**) **Kreis** in  $G$  ist ein gerichteter Zyklus  $v_0, v_1, \dots, v_{\ell-1}, v_0$  der Länge  $\ell \geq 1$ , für den  $v_0, v_1, \dots, v_{\ell-1}$  paarweise verschieden sind.
- i)  $G$  heißt **kreisfrei** oder **azyklisch**, wenn es in  $G$  keinen gerichteten Kreis gibt.
- j)  $G$  heißt **stark zusammenhängend**, wenn es in  $G$  für jedes Knotenpaar  $u \neq v \in V$  sowohl einen  $u$ - $v$ -Pfad als auch einen  $v$ - $u$ -Pfad gibt.

Die **Adjazenzmatrix** eines Graphen bzw. Digraphen  $G = (V, E)$  mit (geordneter) Knotenmenge  $V = \{v_1, \dots, v_n\}$  ist die  $(n \times n)$ -Matrix

## 2 Färben von Graphen

$A = (a_{ij})$  mit den Einträgen

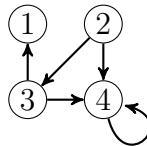
$$a_{ij} = \begin{cases} 1, & \{v_i, v_j\} \in E \\ 0, & \text{sonst} \end{cases} \quad \text{bzw.} \quad a_{ij} = \begin{cases} 1, & (v_i, v_j) \in E \\ 0, & \text{sonst.} \end{cases}$$

Für ungerichtete Graphen ist die Adjazenzmatrix symmetrisch mit  $a_{ii} = 0$  für  $i = 1, \dots, n$ .

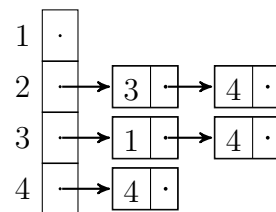
Bei der **Adjazenzlisten-Darstellung** wird für jeden Knoten  $v_i$  eine Liste mit seinen Nachbarn verwaltet. Im gerichteten Fall verwaltet man entweder nur die Liste der Nachfolger oder zusätzlich eine weitere für die Vorgänger. Falls die Anzahl der Knoten statisch ist, organisiert man die Adjazenzlisten in einem Feld, d.h. das Feldelement mit Index  $i$  verweist auf die Adjazenzliste von Knoten  $v_i$ . Falls sich die Anzahl der Knoten dynamisch ändert, so werden die Adjazenzlisten typischerweise ebenfalls in einer doppelt verketteten Liste verwaltet.

### Beispiel 1.5.

Betrachte den gerichteten Graphen  $G = (V, E)$  mit  $V = \{1, 2, 3, 4\}$  und  $E = \{(2, 3), (2, 4), (3, 1), (3, 4), (4, 4)\}$ . Dieser hat folgende Adjazenzmatrix- und Adjazenzlisten-Darstellung:



	1	2	3	4
1	0	0	0	0
2	0	0	1	1
3	1	0	0	1
4	0	0	0	1



◁

## 2 Färben von Graphen

**Definition 2.1.** Sei  $G = (V, E)$  ein Graph und sei  $k \in \mathbb{N}$ .

- Eine Abbildung  $f: V \rightarrow \mathbb{N}$  heißt **Färbung** von  $G$ , wenn  $f(u) \neq f(v)$  für alle  $\{u, v\} \in E$  gilt.
- $G$  heißt  **$k$ -färbbar**, falls eine Färbung  $f: V \rightarrow \{1, \dots, k\}$  existiert.
- Die **chromatische Zahl** ist

$$\chi(G) = \min\{k \in \mathbb{N} \mid G \text{ ist } k\text{-färbbar}\}.$$

**Beispiel 2.2.**

$$\chi(E_n) = 1, \quad \chi(K_{n,m}) = 2, \quad \chi(K_n) = n,$$

$$\chi(C_n) = \begin{cases} 2, & n \text{ gerade} \\ 3, & \text{sonst.} \end{cases}$$

Ein wichtiges Entscheidungsproblem ist, ob ein gegebener Graph  $k$ -färbbar ist. Dieses Problem ist für jedes feste  $k \geq 3$  schwierig.

**$k$ -Färbbarkeit ( $k$ -COLORING):**

**Gegeben:** Ein Graph  $G$ .

**Gefragt:** Ist  $G$   $k$ -färbbar?

**Satz 2.3.**  $k$ -COLORING ist für  $k \geq 3$  NP-vollständig.

Das folgende Lemma setzt die chromatische Zahl  $\chi(G)$  in Beziehung zur Stabilitätszahl  $\alpha(G)$ .

**Lemma 2.4.**  $n/\alpha(G) \leq \chi(G) \leq n - \alpha(G) + 1$ .

*Beweis.* Sei  $G$  ein Graph und sei  $c$  eine  $\chi(G)$ -Färbung von  $G$ . Da dann die Mengen  $S_i = \{u \in V \mid c(u) = i\}$ ,  $i = 1, \dots, \chi(G)$ , stabil sind, folgt  $\|S_i\| \leq \alpha(G)$  und somit gilt

$$n = \sum_{i=1}^{\chi(G)} \|S_i\| \leq \chi(G)\alpha(G).$$

Für den Beweis von  $\chi(G) \leq n - \alpha(G) + 1$  sei  $S$  eine stabile Menge in  $G$  mit  $\|S\| = \alpha(G)$ . Dann ist  $G - S$   $k$ -färbbar für ein  $k \leq n - \|S\|$ . Da wir alle Knoten in  $S$  mit der Farbe  $k + 1$  färben können, folgt  $\chi(G) \leq k + 1 \leq n - \alpha(G) + 1$ . ■

Beide Abschätzungen sind scharf, können andererseits aber auch beliebig schlecht werden.

**Lemma 2.5.**  $\binom{\chi(G)}{2} \leq m$  und somit  $\chi(G) \leq 1/2 + \sqrt{2m + 1/4}$ .

*Beweis.* Zwischen je zwei Farbklassen einer optimalen Färbung muss es mindestens eine Kante geben. ■

Die chromatische Zahl steht auch in Beziehung zur Cliquenzahl  $\omega(G)$  und zum Maximalgrad  $\Delta(G)$ :

**Lemma 2.6.**  $\omega(G) \leq \chi(G) \leq \Delta(G) + 1$ .

*Beweis.* Die erste Ungleichung folgt daraus, dass die Knoten einer maximal großen Clique unterschiedliche Farben erhalten müssen.

Um die zweite Ungleichung zu erhalten, betrachte folgenden Färbungsalgorithmus:

#### Algorithmus greedy-color

---

```

1  input ein Graph  $G = (V, E)$  mit  $V = \{v_1, \dots, v_n\}$ 
2   $c(v_1) := 1$ 
3  for  $i := 2$  to  $n$  do
4     $F_i := \{c(v_j) \mid j < i, v_j \in N(v_i)\}$ 
5     $c(v_i) := \min\{k \geq 1 \mid k \notin F_i\}$ 

```

---

Da für die Farbe  $c(v_i)$  von  $v_i$  nur  $\|F_i\| \leq \Delta(G)$  Farben verboten sind, gilt  $c(v_i) \leq \Delta(G) + 1$ . ■

## 2.1 Färben von planaren Graphen

Ein Graph  $G$  heißt **planar**, wenn er so in die Ebene einbettbar ist, dass sich zwei verschiedene Kanten höchstens in ihren Endpunkten berühren. Dabei werden die Knoten von  $G$  als Punkte und die Kanten von  $G$  als Verbindungslinien zwischen den zugehörigen Endpunkten dargestellt.

Bereits im 19. Jahrhundert wurde die Frage aufgeworfen, wie viele Farben höchstens benötigt werden, um eine Landkarte so zu färben, dass aneinander grenzende Länder unterschiedliche Farben erhalten. Offensichtlich lässt sich eine Landkarte in einen planaren Graphen transformieren, indem man für jedes Land einen Knoten zeichnet und benachbarte Länder durch eine Kante verbindet. Länder, die sich nur in einem Punkt berühren, gelten dabei nicht als benachbart.

Die Vermutung, dass 4 Farben ausreichen, wurde 1878 von Kempe „bewiesen“ und erst 1890 entdeckte Heawood einen Fehler in Kempes „Beweis“. Übrig blieb der *5-Farben-Satz*. Der *4-Farben-Satz* wurde erst 1976 von Appel und Haken bewiesen. Hierbei handelt es sich jedoch nicht um einen Beweis im klassischen Sinne, da zur Überprüfung der vielen auftretenden Spezialfälle Computer benötigt werden.

**Satz 2.7** (Appel, Haken 1976).

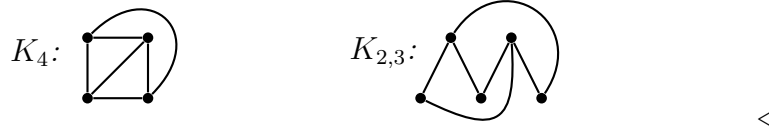
*Jeder planare Graph ist 4-färbbar.*

Aus dem Beweis des 4-Farben-Satzes von Appel und Haken lässt sich ein 4-Färbungsalgorithmus für planare Graphen mit einer Laufzeit von  $\mathcal{O}(n^4)$  gewinnen.

In 1997 fanden Robertson, Sanders, Seymour und Thomas einen einfacheren Beweis für den 4-Farben-Satz, welcher zwar einen deutlich

schnelleren  $\mathcal{O}(n^2)$  Algorithmus liefert, aber auch nicht ohne Computer-Unterstützung verifizierbar ist.

**Beispiel 2.8.** *Wie die folgenden Einbettungen von  $K_4$  und  $K_{2,3}$  in die Ebene zeigen, sind  $K_4$  und  $K_{2,3}$  planar.*



Um eine Antwort auf die Frage zu finden, ob auch  $K_5$  und  $K_{3,3}$  planar sind, betrachten wir die Gebiete von in die Ebene eingebetteten Graphen.

Durch die Kanten eines eingebetteten Graphen wird die Ebene in so genannte **Gebiete** unterteilt. Nur eines dieser Gebiete ist unbeschränkt und dieses wird als **äußeres Gebiet** bezeichnet. Die Anzahl der Gebiete von  $G$  bezeichnen wir mit  $r(G)$  oder kurz mit  $r$ . Die Anzahl der an ein Gebiet  $g$  grenzenden Kanten bezeichnen wir mit  $d(g)$ , wobei Kanten  $\{u, v\}$ , die nur an  $g$  und kein anderes Gebiet grenzen, doppelt gezählt werden.

Der **Rand**  $\text{rand}(g)$  eines Gebiets  $g$  ist die (zirkuläre) Folge aller Kanten, die an  $g$  grenzen, wobei jede Kante so durchlaufen wird, dass  $g$  „in Fahrtrichtung links“ liegt bzw. bei Erreichen eines Knotens über eine Kante  $e$ ,  $u$  über die im Uhrzeigersinn nächste Kante  $e'$  wieder verlassen wird. Auf diese Weise erhält jede Kante auf dem Rand von  $g$  eine Richtung (oder Orientierung).

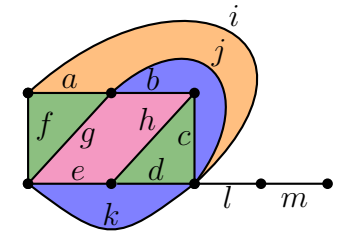
Da jede Kante zur Gesamtlänge  $\sum_g d(g)$  aller Ränder den Wert 2 beiträgt (sie wird genau einmal in jeder Richtung durchlaufen), folgt

$$\sum_g d(g) = i(G) = 2m(G).$$

Führen zwei Einbettungen von  $G$  in die Ebene auf dieselbe Randmenge  $R$ , so werden sie als äquivalent angesehen. Wir nennen das Tripel

$G' = (V, E, R)$  eine **ebene Realisierung** des Graphen  $G = (V, E)$ , falls es eine Einbettung von  $G$  in die Ebene gibt, deren Gebiete die Ränder in  $R$  haben. In diesem Fall nennen wir  $G' = (V, E, R)$  auch einen **ebenen Graphen**. Eine andere Möglichkeit, Einbettungen bis auf Äquivalenz kombinatorisch zu beschreiben, besteht darin, für jeden Knoten  $u$  die (zirkuläre) Ordnung  $\pi_u$  aller mit  $u$  inzidenten Kanten anzugeben. Man nennt  $\pi = \{\pi_u \mid u \in V\}$  ein **Rotationssystem** für  $G$ , falls es eine entsprechende Einbettung gibt. Rotationssysteme haben den Vorteil, dass sie bei Verwendung der Adjazenzlistendarstellung ohne zusätzlichen Platzaufwand gespeichert werden können, indem man die zu  $u$  adjazenten Knoten gemäß  $\pi_u$  anordnet.

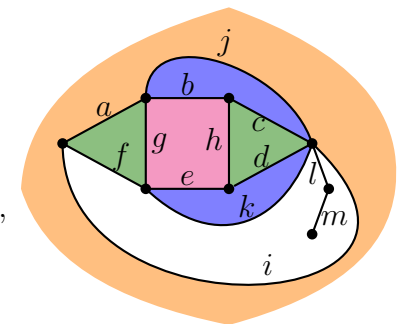
**Beispiel 2.9.** *Die beiden nebenstehenden Einbettungen eines Graphen  $G = (V, E)$  in die Ebene haben jeweils 7 Gebiete und führen beide auf den ebenen Graphen  $G' = (V, E, R)$  mit den 7 Rändern*



$$R = \{(a, f, g), (a, j, i), (b, g, e, h), (b, c, j), (c, h, d), (d, e, k), (f, i, l, m, m, l, k)\}.$$

Das zugehörige Rotationssystem ist

$$\pi = \{(a, f, i), (a, j, b, g), (b, c, h), (e, k, f, g), (d, e, h), (c, j, i, l, k, d), (l, m), (m)\}.$$



Man beachte, dass sowohl in  $R$  als auch in  $\pi$  jede Kante genau zweimal vorkommt. Anstelle von Kantenfolgen kann man  $R$  und  $\pi$  auch durch entsprechende Knotenfolgen beschreiben.

**Satz 2.10** (Polyederformel von Euler, 1750).

Für einen zusammenhängenden ebenen Graphen  $G = (V, E, R)$  gilt

$$n(G) - m(G) + r(G) = 2. \quad (*)$$

*Beweis.* Wir führen den Beweis durch Induktion über die Kantenzahl  $m(G) = m$ .

$m = 0$ : Da  $G$  zusammenhängend ist, muss dann  $n = 1$  sein.

Somit ist auch  $r = 1$ , also  $(*)$  erfüllt.

$m - 1 \rightsquigarrow m$ : Sei  $G$  ein zusammenhängender ebener Graph mit  $m$  Kanten.

Ist  $G$  ein Baum, so entfernen wir ein Blatt und erhalten einen zusammenhängenden ebenen Graphen  $G'$  mit  $n' = n - 1$  Knoten,  $m' = m - 1$  Kanten und  $r' = r$  Gebieten. Nach IV folgt  $n - m + r = (n - 1) - (m - 1) + r = n' - m' + r' = 2$ .

Falls  $G$  kein Baum ist, entfernen wir eine Kante auf einem Kreis in  $G$  und erhalten einen zusammenhängenden ebenen Graphen  $G'$  mit  $n' = n$  Knoten,  $m' = m - 1$  Kanten und  $r' = r - 1$  Gebieten. Nach IV folgt  $n - m + r = n - (m - 1) + (r - 1) = n' - m' + r' = 2$ . ■

**Korollar 2.11.** Sei  $G = (V, E)$  ein planarer Graph mit  $n \geq 3$  Knoten. Dann ist  $m \leq 3n - 6$ . Falls  $G$  dreiecksfrei ist, gilt sogar  $m \leq 2n - 4$ .

*Beweis.* O.B.d.A. sei  $G$  zusammenhängend. Wir betrachten eine beliebige planare Einbettung von  $G$ . Da  $n \geq 3$  ist, ist jedes Gebiet  $g$  von  $d(g) \geq 3$  Kanten umgeben. Daher ist  $2m = i = \sum_g d(g) \geq 3r$  bzw.  $r \leq 2m/3$ . Eulers Formel liefert

$$m = n + r - 2 \leq n + 2m/3 - 2,$$

was  $(1 - 2/3)m \leq n - 2$  und somit  $m \leq 3n - 6$  impliziert.

Wenn  $G$  dreiecksfrei ist, ist jedes Gebiet von  $d(g) \geq 4$  Kanten umgeben. Daher ist  $2m = i = \sum_g d(g) \geq 4r$  bzw.  $r \leq m/2$ . Eulers Formel liefert daher  $m = n + r - 2 \leq n + m/2 - 2$ , was  $m/2 \leq n - 2$  und somit  $m \leq 2n - 4$  impliziert. ■

**Korollar 2.12.**  $K_5$  ist nicht planar.

*Beweis.* Wegen  $n = 5$ , also  $3n - 6 = 9$ , und wegen  $m = \binom{5}{2} = 10$  gilt  $m \not\leq 3n - 6$ . ■

**Korollar 2.13.**  $K_{3,3}$  ist nicht planar.

*Beweis.* Wegen  $n = 6$ , also  $2n - 4 = 8$ , und wegen  $m = 3 \cdot 3 = 9$  gilt  $m \not\leq 2n - 4$ . ■

Als weitere interessante Folgerung aus der Polyederformel können wir zeigen, dass jeder planare Graph einen Knoten  $v$  vom Grad  $\deg(v) \leq 5$  hat.

**Lemma 2.14.** Jeder planare Graph hat einen Minimalgrad  $\delta(G) \leq 5$ .

*Beweis.* Für  $n \leq 6$  ist die Behauptung klar. Für  $n > 6$  impliziert die Annahme  $\delta(G) \geq 6$  die Ungleichung

$$m = \frac{1}{2} \sum_{u \in V} \deg(u) \geq \frac{1}{2} \sum_{u \in V} 6 = 3n,$$

was im Widerspruch zu  $m \leq 3n - 6$  steht. ■

**Definition 2.15.** Seien  $G = (V, E)$  und  $H$  Graphen und seien  $u, v \in V$ .

- Durch **Fusion** von  $u$  und  $v$  entsteht aus  $G$  der Graph  $G_{uv} = (V - \{v\}, E')$  mit

$$E' = \{e \in E \mid v \notin e\} \cup \{\{u, v'\} \mid \{v, v'\} \in E - \{u, v\}\}.$$

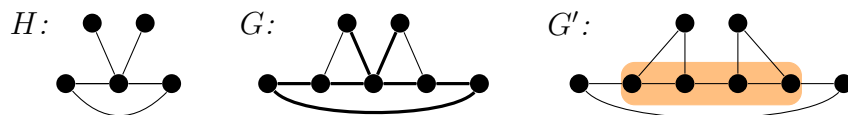
Ist  $e = \{u, v\}$  eine Kante von  $G$  (also  $e \in E$ ), so sagen wir auch,  $G_{uv}$  entsteht aus  $G$  durch **Kontraktion** der Kante  $e$ . Hat zudem  $v$  den Grad 2, so sagen wir auch,  $G_{uv}$  entsteht aus  $G$  durch **Überbrückung** des Knotens  $v$ .

- $G$  heißt zu  $H$  **kontrahierbar**, falls  $H$  aus einer isomorphen Kopie von  $G$  durch wiederholte Kontraktionen gewonnen werden kann.



- $G$  heißt **Unterteilung** von  $H$ , falls  $H$  aus einer isomorphen Kopie von  $G$  durch wiederholte Überbrückungen gewonnen werden kann.
- $H$  heißt **Minor** von  $G$ , wenn ein Teilgraph von  $G$  zu  $H$  kontrahierbar ist, und **topologischer Minor**, wenn ein Teilgraph von  $G$  eine Unterteilung von  $H$  ist.
- $G$  heißt  **$H$ -frei**, falls  $H$  kein Minor von  $G$  ist. Für eine Menge  $\mathcal{H}$  von Graphen heißt  $G$   **$\mathcal{H}$ -frei**, falls  $G$  für alle  $H \in \mathcal{H}$   $H$ -frei ist.

**Beispiel 2.16.** Betrachte folgende Graphen:



Offensichtlich ist  $G$  keine Unterteilung von  $H$ . Entfernen wir jedoch die beiden dünnen Kanten aus  $G$ , so ist der resultierende Teilgraph eine Unterteilung von  $H$ , d.h.  $H$  ist ein topologischer Minor von  $G$ . Dagegen ist kein Teilgraph von  $G'$  isomorph zu einer Unterteilung von  $H$  und somit ist  $H$  kein topologischer Minor von  $G'$ . Wenn wir aber die drei umrandeten Kanten von  $G'$  kontrahieren, entsteht ein zu  $H$  isomorpher Graph, d.h.  $H$  ist ein Minor von  $G'$ . ◁

Nach Definition lässt sich jeder (topologische) Minor  $H$  von  $G$  aus einem zu  $G$  isomorphen Graphen durch wiederholte Anwendung folgender Operationen gewinnen:

- Entfernen einer Kante oder eines Knoten,
- Kontraktion einer Kante (bzw. Überbrückung eines Knoten).

Da die Kontraktionen (bzw. Überbrückungen) o.B.d.A. auch zuletzt ausgeführt werden können, gilt hiervon auch die Umkehrung. Zudem ist leicht zu sehen, dass  $G$  und  $H$  genau dann (topologische) Minoren voneinander sind, wenn sie isomorph sind.

**Satz 2.17** (Kempe 1878, Heawood 1890).  
*Jeder planare Graph ist 5-färbbar.*

*Beweis.* Wir beweisen den Satz durch Induktion über  $n$ .

$n = 1$ : Klar.

$n - 1 \rightsquigarrow n$ : Da  $G$  planar ist, existiert ein Knoten  $u$  mit  $\deg(u) \leq 5$ .

Im Fall  $\deg(u) \leq 4$  entfernen wir  $u$  aus  $G$ . Andernfalls hat  $u$  zwei Nachbarn  $v$  und  $w$ , die nicht durch eine Kante verbunden sind (andernfalls wäre  $K_5$  ein Teilgraph von  $G$ ). In diesem Fall entfernen wir alle mit  $u$  inzidenten Kanten außer  $\{u, v\}$  und  $\{u, w\}$  und kontrahieren diese beiden Kanten zum Knoten  $v$ .

Der resultierende Graph  $G'$  ist ein Minor von  $G$  und daher planar. Da  $G'$  zudem höchstens  $n - 1$  Knoten hat, existiert nach IV eine 5-Färbung  $c'$  für  $G'$ . Da wir im 2. Fall dem Knoten  $w$  die Farbe  $c'(v)$  geben können, haben die Nachbarn von  $u$  höchstens 4 verschiedene Farben und wir können  $G$  5-färben. ■

Kuratowski konnte 1930 beweisen, dass jeder nichtplanare Graph  $G$  den  $K_{3,3}$  oder den  $K_5$  als topologischen Minor enthält. Für den Beweis benötigen wir noch folgende Notationen.

**Definition 2.18.** Sei  $G$  ein Graph und sei  $K$  ein Kreis in  $G$ . Ein Teilgraph  $B$  von  $G$  heißt **Brücke** von  $K$  in  $G$ , falls

- $B$  nur aus einer Kante besteht, die zwei Knoten von  $K$  verbindet, aber nicht auf  $K$  liegt (solche Brücken werden auch als **Sehnen** von  $K$  bezeichnet), oder
- $B - K$  eine Zusammenhangskomponente von  $G - K$  ist und  $B$  aus  $B - K$  durch Hinzufügen aller Kanten zwischen  $B - K$  und  $K$  (und der zugehörigen Endpunkte auf  $K$ ) entsteht.

Die Knoten von  $B$ , die auf  $K$  liegen, heißen **Kontaktpunkte** von  $B$ . Zwei Brücken  $B$  und  $B'$  von  $K$  heißen **inkompatibel**, falls

- $B$  Kontaktpunkte  $u, v$  und  $B'$  Kontaktpunkte  $u', v'$  hat, so dass diese vier Punkte in der Reihenfolge  $u, u', v, v'$  auf  $K$  liegen, oder
- $B$  und  $B'$  mindestens 3 gemeinsame Kontaktpunkte haben.

Es ist leicht zu sehen, dass jeder Kreis in einem planaren Graphen

höchstens zwei paarweise inkompatible Brücken haben kann.

**Satz 2.19** (Kuratowski 1930).

Für einen Graphen  $G$  sind folgende Aussagen äquivalent:

- (i)  $G$  ist planar.
- (ii)  $G$  enthält weder den  $K_{3,3}$  noch den  $K_5$  als topologischen Minor.

*Beweis.* Die Implikation von *i*) nach *ii*) folgt aus der Tatsache, dass die Klasse  $\mathcal{K}$  der planaren Graphen unter (topologischer) Minorenbildung abgeschlossen ist (d.h. wenn  $G \in \mathcal{K}$  und  $H$  ein Minor von  $G$  ist, dann folgt  $H \in \mathcal{K}$ ).

Die Implikation von *ii*) nach *i*) zeigen wir durch Kontraposition. Sei also  $G = (V, E)$  nicht planar. Dann hat  $G$  einen 3-zusammenhängenden nicht planaren topologischen Minor  $G' = (V', E')$ , so dass  $G' - e'$  für jede Kante  $e' \in E'$  planar ist (siehe Übungen). Wir entfernen eine beliebige Kante  $e_0 = \{a_0, b_0\}$  aus  $G'$ . Da  $G'$  mindestens 5 Knoten hat, ist  $G' - e_0$  2-zusammenhängend. Daher gibt es in  $G' - e_0$  einen Kreis  $K$  durch die beiden Knoten  $a_0$  und  $b_0$ . Wir wählen  $K$  zusammen mit einer ebenen Realisierung  $H'$  von  $G' - e_0$  so, dass  $K$  möglichst viele Gebiete in  $H'$  einschließt.

Die Kanten jeder Brücke  $B$  von  $K$  in  $G' - e_0$  verlaufen entweder alle innerhalb oder alle außerhalb von  $K$  in  $H'$ . Im ersten Fall nennen wir  $B$  eine **innere Brücke** und im zweiten eine **äußere Brücke**.

Für zwei Knoten  $a, b$  auf  $K$  bezeichnen wir mit  $K[a, b]$  die Menge aller Knoten, die auf dem Bogen von  $a$  nach  $b$  (im Uhrzeigersinn) auf  $K$  liegen. Zudem sei  $K[a, b] = K[a, b] \setminus \{b\}$ . Die Mengen  $K(a, b)$  und  $K(a, b]$  sind analog definiert.

**Behauptung 2.20.** Jede äußere Brücke  $B$  besteht aus einer Kante  $\{u, v\}$ , die zwei Knoten  $u \in K(a_0, b_0)$  und  $v \in K(b_0, a_0)$  verbindet.

Zum Beweis der Behauptung nehmen wir an, dass  $B$  mindestens einen Kontaktpunkt in  $\{a_0, b_0\}$  oder mehr als 2 Kontaktpunkte hat. Dann liegen mindestens zwei dieser Punkte auf  $K[a_0, b_0]$  oder auf  $K[b_0, a_0]$ .

Folglich kann  $K$  zu einem Kreis  $K'$  erweitert werden, der in  $H'$  mehr Gebiete einschließt (bzw. ausschließt) als  $K$ , was der Wahl von  $K$  und  $H'$  widerspricht.

Im Graphen  $G'$  hat  $K$  außer den Brücken in  $G' - e_0$  noch zusätzlich die Kante  $e_0$  als Brücke. Nun wählen wir eine innere Brücke  $B$ , die sowohl zu  $e_0$  als auch zu mindestens einer äußeren Brücke  $e_1 = \{a_1, b_1\}$  inkompatibel ist. Eine solche Brücke  $B$  muss es geben, da wir sonst alle mit  $e_0$  inkompatiblen inneren Brücken nach außen klappen und  $e_0$  als innere Brücke hinzunehmen könnten, ohne die Planarität zu verletzen.

Wir benutzen  $K$  und die drei Brücken  $e_0, e_1$  und  $B$ , um eine Unterteilung des  $K_{3,3}$  oder des  $K_5$  in  $G'$  zu finden. Hierzu geben wir entweder zwei disjunkte Mengen  $A_1, A_2 \subseteq V'$  mit jeweils 3 Knoten an, so dass 9 knotendisjunkte Pfade zwischen allen Knoten  $a \in A_1$  und  $b \in A_2$  existieren. Oder wir geben eine Menge  $A \subseteq V'$  mit fünf Knoten an, so dass 10 knotendisjunkte Pfade zwischen je zwei Knoten  $a, b \in A$  existieren. Da  $e_0$  und  $e_1$  inkompatibel sind, können wir annehmen, dass die vier Knoten  $a_0, a_1, b_0, b_1$  in dieser Reihenfolge auf  $K$  liegen.

**Fall 1:**  $B$  hat einen Kontaktpunkt  $k_1 \notin \{a_0, a_1, b_0, b_1\}$ . Aus Symmetriegründen können wir  $k_1 \in K(a_0, a_1)$  annehmen. Da  $B$  weder zu  $e_0$  noch zu  $e_1$  kompatibel ist, hat  $B$  weitere Kontaktpunkte  $k_2 \in K(b_0, a_0)$  und  $k_3 \in K(a_1, b_1)$ , wobei  $k_2 = k_3$  sein kann.

**Fall 1a:** Ein Knoten  $k_i \in \{k_2, k_3\}$  liegt auf dem Bogen  $K(b_0, b_1)$ . In diesem Fall existieren 9 knotendisjunkte Pfade zwischen  $\{a_0, a_1, k_i\}$  und  $\{b_0, b_1, k_1\}$ .

**Fall 1b:**  $K(b_0, b_1) \cap \{k_2, k_3\} = \emptyset$ . In diesem Fall ist  $k_2 \in K[b_1, a_0]$  und  $k_3 \in K(a_1, b_0]$ . Dann gibt es in  $B$  einen Knoten  $u$ , von dem aus 3 knotendisjunkte Pfade zu  $\{k_1, k_2, k_3\}$  existieren. Folglich gibt es 9 knotendisjunkte Pfade zwischen  $\{a_0, a_1, u\}$  und  $\{k_1, k_2, k_3\}$ .

**Fall 2:** Alle Kontaktpunkte von  $B$  liegen in der Menge  $\{a_0, a_1, b_0, b_1\}$ . Da  $B$  inkompatibel zu  $e_0$  und  $e_1$  ist, müssen in diesem Fall alle

vier Punkte zu  $B$  gehören. Sei  $P_0$  ein  $a_0$ - $b_0$ -Pfad in  $B$  und sei  $P_1$  ein  $a_1$ - $b_1$ -Pfad in  $B$ . Sei  $u$  der erste Knoten auf  $P_0$ , der auch auf  $P_1$  liegt und sei  $v$  der letzte solche Knoten.

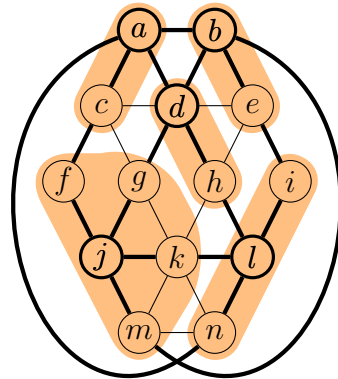
**Fall 2a:**  $u = v$ . Dann gibt es in  $B$  vier knotendisjunkte Pfade von  $u$  zu  $\{a_0, a_1, b_0, b_1\}$  und somit existieren in  $G'$  10 knotendisjunkte Pfade zwischen den Knoten  $u, a_0, a_1, b_0, b_1$ .

**Fall 2b:**  $u \neq v$ . Durch  $u$  und  $v$  wird der Pfad  $P_1$  in drei Teilpfade  $P_{xu}, P_{uv}$  und  $P_{vy}$  unterteilt, wobei die Indizes die Endpunkte bezeichnen und  $\{x, y\} = \{a_1, b_1\}$  ist.

Somit gibt es in  $B$  drei Pfade zwischen  $u$  und jedem Knoten in  $\{a_0, v, x\}$  und zwei Pfade zwischen  $v$  und jedem Knoten in  $\{b_0, y\}$ , die alle 5 knotendisjunkt sind. Folglich gibt es in  $G'$  9 knotendisjunkte Pfade zwischen  $\{a_0, v, x\}$  und  $\{b_0, y, u\}$ . ■

**Beispiel 2.21.** Der nebenstehende Graph ist nicht planar, da wir den  $K_5$  durch Kontraktion der farblich unterlegten Teilgraphen als Minor von  $G$  erhalten.

Alternativ lässt sich der  $K_5$  auch als ein topologischer Minor von  $G$  erhalten, indem wir die dünnen Kanten entfernen und in dem resultierenden Teilgraphen alle Knoten vom Grad 2 überbrücken. ◁



Eine unmittelbare Folgerung aus dem Satz von Kuratowski ist folgende Charakterisierung der Klasse der planaren Graphen.

**Korollar 2.22** (Wagner 1937). Ein Graph ist genau dann planar, wenn er  $\{K_{3,3}, K_5\}$ -frei ist.

**Definition 2.23.** Sei  $\lesssim$  eine binäre Relation auf einer Menge  $A$ .

a)  $(A, \lesssim)$  heißt **Quasiordnung**, wenn  $\lesssim$  reflexiv und transitiv auf  $A$  ist.

b)  $(A, \lesssim)$  heißt **Wohlquasiordnung**, wenn es zudem zu jeder unendlichen Folge  $a_1, a_2, \dots$  von Elementen aus  $A$  Indizes  $i < j$  mit  $a_i \lesssim a_j$  gibt.

Beispiele für Quasiordnungen sind  $a \lesssim b \Leftrightarrow |a| \leq |b|$  auf den ganzen oder komplexen Zahlen. Im ersten Fall handelt es sich um eine Wohlquasiordnung, im zweiten nicht, da zum Beispiel die Folge  $a_i = (i+1)/i$  eine unendliche **absteigende Kette** bildet (d.h.  $a_{i+1} \lesssim a_i$  und  $a_i \not\lesssim a_{i+1}$  für alle  $i \geq 1$ ).  $(\mathbb{N}, \leq)$  ist eine Wohlquasiordnung (sogar eine lineare Wohlordnung, da auch antisymmetrisch und konnex). Die Teilbarkeitsrelation auf den natürlichen Zahlen ist dagegen keine Wohlquasiordnung, da mit der Folge der Primzahlen eine unendliche **Antikette** existiert (d.h. die Glieder der Folge sind paarweise unvergleichbar: es gilt  $a_i \not\lesssim a_j$  und  $a_j \not\lesssim a_i$  für alle  $i > j \geq 1$ ).

Es ist leicht zu sehen, dass die Minorenrelation auf der Menge aller endlichen ungerichteten Graphen keine unendlichen absteigenden Ketten hat. Gemäß folgender Proposition ist sie daher genau dann eine Wohlquasiordnung, wenn es auch keine unendlichen Antiketten gibt.

**Proposition 2.24.** Eine Quasiordnung  $(A, \lesssim)$  ist genau dann eine Wohlquasiordnung, wenn es in  $(A, \lesssim)$  weder unendliche absteigende Ketten noch unendliche Antiketten gibt.

*Beweis.* Siehe Übungen. ■

**Satz 2.25** (Satz von Robertson und Seymour, 1983-2004). Die Minorenrelation bildet auf der Menge aller endlichen ungerichteten Graphen eine Wohlquasiordnung.

**Korollar 2.26.** Sei  $\mathcal{K}$  eine Graphklasse, die unter Minorenbildung abgeschlossen ist. Dann gibt es eine endliche Menge  $\mathcal{H}$  von Graphen mit

$$\mathcal{K} = \{G \mid G \text{ ist } \mathcal{H}\text{-frei}\}.$$

Die Graphen in  $\mathcal{H}$  sind bis auf Isomorphie eindeutig bestimmt und heißen **verbotene Minoren** für die Klasse  $\mathcal{K}$ .

Für den Beweis des Korollars betrachten wir die komplementäre Klasse  $\bar{\mathcal{K}}$  aller endlichen Graphen, die nicht zu  $\mathcal{K}$  gehören, und zeigen, dass  $\bar{\mathcal{K}}$  bis auf Isomorphie nur endlich viele minimale Elemente hat. Sei  $\mathcal{M}$  die Menge aller minimalen Elemente von  $\bar{\mathcal{K}}$  und entstehe  $\mathcal{H}$  aus  $\mathcal{M}$ , indem wir aus jeder Isomorphieklasse einen Graphen auswählen. Dann hat jeder Graph  $G \in \bar{\mathcal{K}}$  einen Minor in  $\mathcal{H}$  und umgekehrt gehört jeder Graph  $G$ , der einen Minor in  $\mathcal{H}$  hat, zu  $\bar{\mathcal{K}}$ , d.h.

$$\bar{\mathcal{K}} = \{G \mid \exists H \in \mathcal{H} : H \text{ ist ein Minor von } G\}.$$

Da zudem  $\mathcal{H}$  eine Antikette bildet, muss  $\mathcal{H}$  nach Satz 2.25 endlich sein, womit Korollar 2.26 bewiesen ist.

Das Problem, für zwei gegebene Graphen  $G$  und  $H$  zu entscheiden, ob  $H$  ein Minor von  $G$  ist, ist zwar NP-vollständig (da sich das Hamiltonkreisproblem darauf reduzieren lässt). Für einen festen Graphen  $H$  ist das Problem dagegen effizient entscheidbar.

**Satz 2.27** (Robertson und Seymour, 1995). *Für jeden Graphen  $H$  gibt es einen  $O(n^3)$ -zeitbeschränkten Algorithmus, der für einen gegebenen Graphen  $G$  entscheidet, ob er  $H$ -frei ist.*

**Korollar 2.28.** *Die Zugehörigkeit zu jeder unter Minorenbildung abgeschlossenen Graphklasse  $\mathcal{K}$  ist in  $\mathbf{P}$  entscheidbar.*

Der Entscheidungsalgorithmus für  $\mathcal{K}$  lässt sich allerdings nur angeben, wenn wir die verbotenen Minoren für  $\mathcal{K}$  kennen. Leider ist der Beweis von Theorem 2.25 in dieser Hinsicht nicht konstruktiv, so dass der Nachweis, dass  $\mathcal{K}$  unter Minorenbildung abgeschlossen ist, nicht automatisch zu einem effizienten Erkennungsalgorithmus für  $\mathcal{K}$  führt.

## 2.2 Färben von chordalen Graphen

Chordalen Graphen treten in vielen Anwendungen auf, z.B. sind alle Intervall- und alle Komparabilitätsgraphen (auch transitiv orientierba-

re Graphen genannt) chordal. Wir werden sehen, dass sich für chordale Graphen effizient eine optimale Knotenfärbung berechnen lässt.

**Definition 2.29.** *Sei  $G = (V, E)$  ein Graph.*

- a)  $G$  heißt **chordal** oder **trianguliert**, wenn jeder Kreis  $K = u_1, \dots, u_l, u_1$  der Länge  $l \geq 4$  in  $G$  mindestens eine Sehne hat.
- b) Eine Menge  $S \subseteq V$  heißt **Separator** von  $G$ , wenn  $G - S$  mehr Komponenten als  $G$  hat.  $S$  heißt  **$x$ - $y$ -Separator**, wenn die beiden Knoten  $x$  und  $y$  in verschiedenen Komponenten von  $G - S$  liegen.

Ein Graph  $G$  ist also genau dann chordal, wenn er keinen induzierten Kreis der Länge  $l \geq 4$  enthält (ein induzierter Kreis ist ein induzierter Teilgraph  $G[V']$ ,  $V' \subseteq V$ , der ein Kreis ist). Dies zeigt, dass die Klasse der chordalen Graphen unter induzierter Teilgraphbildung abgeschlossen ist (aber nicht unter Teilgraphbildung). Jede solche Graphklasse  $\mathcal{G}$  ist durch eine Familie von minimalen **verbotenen induzierten Teilgraphen**  $H_i$  charakterisiert, die bis auf Isomorphie eindeutig bestimmt sind. Die Graphen  $H_i$  gehören also nicht zu  $\mathcal{G}$ , aber sobald wir einen Knoten daraus entfernen, erhalten wir einen Graphen in  $\mathcal{G}$ . Die Klasse der chordalen Graphen hat die Familie der Kreise  $C_n$  der Länge  $n \geq 4$  als verbotene induzierte Teilgraphen.

**Lemma 2.30.** *Für einen Graphen  $G$  sind folgende Aussagen äquivalent.*

- (i)  $G$  ist chordal.
- (ii) Jeder inklusionsminimale Separator von  $G$  ist eine Clique.
- (iii) Jedes Paar von nicht adjazenten Knoten  $x$  und  $y$  in  $G$  hat einen  $x$ - $y$ -Separator  $S$ , der eine Clique ist.

*Beweis.* Um zu zeigen, dass die zweite Aussage aus der ersten folgt, nehmen wir an, dass  $G$  einen minimalen Separator  $S$  hat, der zwei nicht adjazente Knoten  $x$  und  $y$  enthält. Seien  $G[V_1]$  und  $G[V_2]$  zwei Komponenten in  $G - S$ , die durch  $S$  getrennt werden. Da  $S$  minimal

ist, sind die beiden Knoten  $x$  und  $y$  sowohl mit  $G[V_1]$  als auch mit  $G[V_2]$  verbunden. Betrachte die beiden Teilgraphen  $G_i = G[V_i \cup \{x, y\}]$  und wähle jeweils einen kürzesten  $x$ - $y$ -Pfad  $P_i$  in  $G_i$ . Da diese eine Länge  $\geq 2$  haben, ist  $K = P_1 \cup P_2$  ein Kreis der Länge  $\geq 4$ . Aufgrund der Konstruktion ist zudem klar, dass  $K$  keine Sehnen in  $G$  hat.

Dass die zweite Aussage die dritte impliziert, ist klar, da jedes Paar von nicht adjazenten Knoten  $x$  und  $y$  einen  $x$ - $y$ -Separator  $S$  hat, und  $S$  eine Clique sein muss, wenn wir  $S$  inklusionsminimal wählen.

Um zu zeigen, dass die erste Aussage aus der dritten folgt, nehmen wir an, dass  $G$  nicht chordal ist. Dann gibt es in  $G$  einen induzierten Kreis  $K$  der Länge  $\geq 4$ . Seien  $x$  und  $y$  zwei beliebige nicht adjazente Knoten auf  $K$  und sei  $S$  ein  $x$ - $y$ -Separator in  $G$ . Dann muss  $S$  mindestens zwei nicht adjazente Knoten aus  $K$  enthalten. ■

**Definition 2.31.** Sei  $G = (V, E)$  ein Graph und sei  $k \geq 0$ . Ein Knoten  $u \in V$  vom Grad  $k$  heißt  **$k$ -simplizial**, wenn alle Nachbarn von  $u$  paarweise adjazent sind. Jeder  $k$ -simpliziale Knoten wird auch als **simplizial** bezeichnet.

Zusammenhängende chordale Graphen können als eine Verallgemeinerung von Bäumen aufgefasst werden. Ein Graph  $G$  ist ein Baum, wenn er aus  $K_1$  durch sukzessives Hinzufügen von 1-simplizialen Knoten erzeugt werden kann. Entsprechend heißt  $G$   **$k$ -Baum**, wenn  $G$  aus  $K_k$  durch sukzessives Hinzufügen von  $k$ -simplizialen Knoten erzeugt werden kann. Wir werden sehen, dass ein zusammenhängender Graph  $G$  genau dann chordal ist, wenn er aus einem isolierten Knoten (also aus einer 1-Clique) durch sukzessives Hinzufügen von simplizialen Knoten erzeugt werden kann. Äquivalent hierzu ist, dass  $G$  durch sukzessives Entfernen von simplizialen Knoten auf einen isolierten Knoten reduziert werden kann.

**Definition 2.32.** Sei  $G = (V, E)$  ein Graph. Eine lineare Ordnung  $(u_1, \dots, u_n)$  auf  $V$  heißt **perfekte Eliminationsordnung (PEO)** von  $G$ , wenn  $u_i$  simplizial in  $G[u_1, \dots, u_i]$  für  $i = 2, \dots, n$  ist.

Es ist klar dass alle Knoten eines vollständigen Graphen simplizial sind. Das folgende Lemma verallgemeinert die bekannte Tatsache, dass jeder Baum mindestens 2 nicht adjazente Blätter hat (abgesehen von  $K_1$  und  $K_2$ ).

**Lemma 2.33.** Jeder nicht vollständige chordale Graph besitzt mindestens 2 simpliziale Knoten, die nicht adjazent sind.

*Beweis.* Wir führen Induktion über  $n$ . Für  $n \leq 2$  ist die Behauptung klar. Sei  $G = (V, E)$  ein Graph mit  $n \geq 3$  Knoten. Da  $G$  nicht vollständig ist, enthält  $G$  zwei nichtadjazente Knoten  $x_1$  und  $x_2$ . Falls  $x_1$  und  $x_2$  in verschiedenen Komponenten von  $G$  liegen, sei  $S = \emptyset$ , andernfalls sei  $S$  ein minimaler  $x_1$ - $x_2$ -Separator. Im zweiten Fall ist  $S$  nach Lemma 2.30 eine Clique in  $G$ . Seien  $G[V_1]$  und  $G[V_2]$  die beiden Komponenten von  $G - S$  mit  $x_i \in V_i$ .

Betrachte die Teilgraphen  $G_i = G[V_i \cup S]$ . Da  $G_i$  chordal ist und weniger als  $n$  Knoten hat, ist  $G_i$  nach IV entweder eine Clique oder  $G_i$  enthält mindestens zwei nicht adjazente simpliziale Knoten  $y_i, z_i$ . Falls  $G_i$  eine Clique ist, ist  $x_i$  simplizial in  $G_i$ , und da  $x_i$  keine Nachbarn außerhalb von  $V_i \cup S$  hat, ist  $x_i$  dann auch simplizial in  $G$ .

Ist  $G_i$  keine Clique, kann höchstens einer der beiden Knoten  $y_i, z_i$  zu  $S$  gehören (da  $S$  im Fall  $S \neq \emptyset$  eine Clique und  $\{y_i, z_i\} \notin E$  ist). O.B.d.A. sei  $y_i \in V_i$ . Dann hat  $y_i$  keine Nachbarn außerhalb von  $V_i \cup S$  und somit ist  $y_i$  auch simplizial in  $G$ . ■

**Satz 2.34.** Ein Graph ist genau dann chordal, wenn er eine PEO hat.

*Beweis.* Falls  $G$  chordal ist, lässt sich eine PEO gemäß Lemma 2.33 bestimmen, indem wir für  $i = n, \dots, 2$  sukzessive einen simplizialen Knoten  $u_i$  in  $G - \{u_{i+1}, \dots, u_n\}$  wählen.

Für die umgekehrte Richtung sei  $(u_1, \dots, u_n)$  eine PEO von  $G$ . Wir zeigen induktiv, dass  $G_i = G[u_1, \dots, u_i]$  chordal ist. Da  $u_{i+1}$  simplizial



in  $G_{i+1}$  ist, enthält jeder Kreis  $K$  der Länge  $\geq 4$  in  $G_{i+1}$ , auf dem  $u_{i+1}$  liegt, eine Sehne zwischen den beiden Kreismachbarn von  $u_{i+1}$ . Daher ist mit  $G_i$  auch  $G_{i+1}$  chordal. ■

**Korollar 2.35.** *Es gibt einen Polynomialzeitalgorithmus  $A$ , der für einen gegebenen Graphen  $G$  eine PEO berechnet, falls  $G$  chordal ist, und andernfalls einen induzierten Kreis der Länge  $\geq 4$  ausgibt.*

*Beweis.*  $A$  versucht wie im Beweis von Theorem 2.34 beschrieben, eine PEO zu bestimmen. Stellt sich heraus, dass  $G_i = G - \{u_{i+1}, \dots, u_n\}$  keinen simplizialen Knoten  $u_i$  hat, so ist  $G_i$  wegen Lemma 2.33 nicht chordal. Daher gibt es nach Lemma 2.30 in  $G_i$  zwei nicht adjazente Knoten  $x$  und  $y$ , so dass kein  $x$ - $y$ -Separator eine Clique ist. Wie im Beweis von Lemma 2.30 beschrieben, lässt sich mithilfe eines minimalen Separators  $S$ , der keine Clique ist, ein induzierter Kreis  $K$  der Länge  $\geq 4$  in  $G_i$  konstruieren. Da  $G_i$  ein induzierter Teilgraph von  $G$  ist, ist  $K$  auch ein induzierter Kreis in  $G$ . ■

Eine PEO kann verwendet werden, um einen chordalen Graphen zu färben:

#### Algorithmus chordal-color( $V, E$ )

- 1 berechne eine PEO  $(u_1, \dots, u_n)$  für  $G = (V, E)$
- 2 starte greedy-color mit der Knotenfolge  $(u_1, \dots, u_n)$

**Satz 2.36.** *Für einen gegebenen chordalen Graphen  $G = (V, E)$  berechnet der Algorithmus **chordal-color** eine  $k$ -Färbung  $c$  von  $G$  mit  $k = \chi(G) = \omega(G)$ .*

*Beweis.* Sei  $u_i$  ein beliebiger Knoten mit  $c(u_i) = k$ . Da  $(u_1, \dots, u_n)$  eine PEO von  $G$  ist, ist  $u_i$  simplizial in  $G[u_1, \dots, u_i]$ . Somit bilden die Nachbarn  $u_j$  von  $u_i$  mit  $j < i$  eine Clique und wegen  $c(u_i) = k$  bilden sie zusammen mit  $u_i$  eine  $k$ -Clique. Daher gilt  $\chi(G) \leq k \leq \omega(G)$ , woraus wegen  $\omega(G) \leq \chi(G)$  die Behauptung folgt. ■

Um **chordal-color** effizient zu implementieren, benötigen wir einen möglichst effizienten Algorithmus zur Bestimmung einer PEO. Rose, Tarjan und Lueker haben hierfür 1976 einen Linearzeitalgorithmus angegeben, der auf *lexikographischer Breitensuche* (kurz LexBFS oder LBFS) basiert. Bevor wir auf diese Variante der Breitensuche näher eingehen, rekapitulieren wir an dieser Stelle nochmals kurz verschiedene Ansätze zum Durchsuchen von Graphen.

Der folgende Algorithmus **GraphSearch( $V, E$ )** startet eine Suche in einem beliebigen Knoten und findet zunächst alle von  $u$  aus erreichbaren Knoten. Danach wird solange von einem noch nicht erreichten Knoten eine neue Suche gestartet, bis alle Knoten erreicht wurden.

#### Algorithmus GraphSearch( $V, E$ )

- 1  $R \leftarrow \emptyset$  // Menge der erreichten Knoten
- 2  $L \leftarrow ()$  // Ausgabeliste
- 3 **repeat**
- 4     wähle  $u \in V \setminus R$
- 5      $R \leftarrow R \cup \{u\}$
- 6      $A \leftarrow \{u\}$  // Menge der noch abzuarbeitenden Knoten
- 7     **while**  $A \neq \emptyset$  **do**
- 8         entferne  $u$  aus  $A$
- 9         append( $L, u$ )
- 10         $A \leftarrow A \cup (N(u) \setminus R)$
- 11         $R \leftarrow R \cup N(u)$
- 12 **until**  $R = V$
- 13 **return**( $L$ )

Der Algorithmus **GraphSearch( $V, E$ )** findet in jedem Durchlauf der repeat-Schleife eine neue Zusammenhangskomponente des Eingabegraphen  $G = (V, E)$ . Dies bedeutet, dass alle Knoten, die zu einer Zusammenhangskomponente gehören, konsekutiv ausgegeben werden. Zudem ist jeder Knoten, der nicht als erster in seiner Zusammenhangskomponente ausgegeben wird, mit einem zuvor ausgegebenen

Knoten verbunden. Die folgende Definition fasst diese Eigenschaften der Ausgabeliste zusammen.

**Definition 2.37.** Sei  $G = (V, E)$  ein Graph. Eine lineare Ordnung  $(u_1, \dots, u_n)$  auf  $V$  heißt **Suchordnung (SO)** von  $G$ , wenn für jedes Tripel  $j < k < l$  gilt:

$$u_j \in N(u_l) \setminus N(u_k) \Rightarrow \exists i < k : u_i \in N(u_k).$$

**Satz 2.38.** Für jeden Graphen  $G = (V, E)$  gibt der Algorithmus  $\text{GraphSearch}(V, E)$  eine SO von  $G$  aus.

*Beweis.* Siehe Übungen. ■

Realisieren wir die Menge der abzuarbeitenden Knoten als einen Keller  $S$ , so erhalten wir eine Suchstrategie, die als **Tiefensuche** (kurz *DFS*, engl. *depth first search*) bezeichnet wird. Die Benutzung eines Kellers  $S$  zur Speicherung der noch abzuarbeitenden Knoten bewirkt, dass die Suche nach unerreichten Knoten mit einem Nachbarn eines Nachbars  $v$  des aktuellen Knotens  $u$  fortgesetzt wird, bevor die noch nicht erreichten übrigen Nachbarn von  $u$  besucht werden.

#### Algorithmus DFS( $V, E$ )

---

```

1  $R \leftarrow \emptyset$  // Menge der erreichten Knoten
2  $L \leftarrow ()$  // Ausgabeliste
3 repeat
4   wähle  $u \in V \setminus R$ 
5    $R \leftarrow R \cup \{u\}$ 
6    $\text{append}(L, u)$ 
7    $S \leftarrow (u)$  // Keller der abzuarbeitenden Knoten
8   while  $S \neq ()$  do
9      $u \leftarrow \text{top}(S)$ 
10    if  $\exists v \in N(u) \setminus R$  then
11       $\text{push}(S, v)$ 
12       $\text{append}(L, v)$ 
```

```

13    $R \leftarrow R \cup \{v\}$ 
14   else
15      $\text{pop}(S)$ 
16   until  $R = V$ 
17   return( $L$ )
```

---

**Definition 2.39.** Sei  $G = (V, E)$  ein Graph. Eine lineare Ordnung  $(u_1, \dots, u_n)$  auf  $V$  heißt **DFS-Ordnung (DO)** von  $G$ , wenn für jedes Tripel  $j < k < l$  gilt:

$$u_j \in N(u_l) \setminus N(u_k) \Rightarrow \exists i : j < i < k \wedge u_i \in N(u_k).$$

**Satz 2.40.** Für jeden Graphen  $G = (V, E)$  gibt der Algorithmus  $\text{DFS}(V, E)$  eine DO von  $G$  aus.

*Beweis.* Siehe Übungen. ■

Realisieren wir die Menge der abzuarbeitenden Knoten als eine Warteschlange  $Q$ , so findet der resultierende Algorithmus  $\text{BFS}(V, E)$  sogar einen kürzesten Weg vom Startknoten  $u$  zu allen von  $u$  aus erreichbaren Knoten. Diese Suchstrategie wird als **Breitensuche** (kurz *BFS*, engl. *breadth first search*) bezeichnet. Die Benutzung einer Warteschlange  $Q$  zur Speicherung der noch abzuarbeitenden Knoten bewirkt, dass alle Nachbarknoten  $v$  des aktuellen Knotens  $u$  vor den bisher noch nicht erreichten Nachbarn von  $v$  ausgegeben werden.

#### Algorithmus BFS( $V, E$ )

---

```

1  $R \leftarrow \emptyset$  // Menge der erreichten Knoten
2  $L \leftarrow ()$  // Ausgabeliste
3 repeat
4   wähle  $u \in V \setminus R$ 
5    $Q \leftarrow (u)$  // Warteschlange der abzuarb. Knoten
6   while  $Q \neq ()$  do
7      $u \leftarrow \text{dequeue}(Q)$ 
```

```

8   append(L, u)
9   for all v ∈ N(u) \ R do enqueue(Q, v)
10  R ← R ∪ N(u)
11  until R = V
12  return(L)

```

---

**Definition 2.41.** Sei  $G = (V, E)$  ein Graph. Eine lineare Ordnung  $(u_1, \dots, u_n)$  auf  $V$  heißt **BFS-Ordnung (BO)** von  $G$ , wenn für jedes Tripel  $j < k < l$  gilt:

$$u_j \in N(u_l) \setminus N(u_k) \Rightarrow \exists i < j : u_i \in N(u_k).$$

**Satz 2.42.** Für jeden Graphen  $G = (V, E)$  gibt der Algorithmus  $\text{BFS}(V, E)$  eine BO von  $G$  aus.

*Beweis.* Siehe Übungen. ■

Der Unterschied von LexBFS zur normalen Breitensuche besteht darin, dass die zulässigen Ausgabefolgen gegenüber der BFS weiter eingeschränkt werden. Hierzu wird die Menge der noch nicht abgearbeiteten Knoten in eine Folge von Teilmengen zerlegt, welche vom Algorithmus wiederholt verfeinert wird. Der Name von LexBFS rührt daher, dass die Knoten in einer Reihenfolge ausgegeben werden, die auch bei einer gewöhnlichen Breitensuche auftreten kann, bei dieser aber nicht garantiert ist. Bei einer Breitensuche werden die noch nicht besuchten Nachbarn des aktuellen Knotens in beliebiger Reihenfolge zur Warteschlange hinzugefügt und später auch wieder in dieser Reihenfolge entfernt. Dagegen werden bei einer LexBFS die Knoten in der Warteschlange nachträglich umsortiert, falls dies notwendig ist, um eine lexikalische Sortierung der Knoten zu erhalten (siehe Definition 2.43).

**Algorithmus LexBFS**  $(V, E, u)$

---

```

1 L ← () // Ausgabeliste

```

```

2 Q ← (V) // Warteschlange von Knotenmengen
3 while Q ≠ () do
4   u ← Dequeue(Q)
5   append(L, u)
6   Splitqueue(Q, N(u))
7 return(L)

```

---

**Prozedur Dequeue**  $(Q)$

---

```

1 entferne u aus first(Q)
2 if first(Q) = ∅ then dequeue(Q)
3 return(u)

```

---

**Prozedur Splitqueue**  $(Q, S)$

---

```

1 for T in Q with T ∩ S ≠ {∅, T} do
2   ersetze (T) in Q durch (T ∩ S, T \ S)

```

---

Für eine effiziente Implementierung sollte die Schlange  $Q = (S_1, \dots, S_k)$  von Knotenmengen  $S_i \subseteq V$  als doppelt verkettete Liste realisiert werden und für jeden Knoten  $u$  in der Adjazenzliste ein Zeiger auf die Menge  $S_i$ , die  $u$  enthält und auf seinen Eintrag in  $S_i$  gespeichert werden. Zudem sollte die for-Schleife in der Prozedur **Splitqueue** durch eine Schleife über die Knoten in  $S = N(u)$  ersetzt werden.

**Definition 2.43.** Sei  $G = (V, E)$  ein Graph. Eine lineare Ordnung  $(u_1, \dots, u_n)$  auf  $V$  heißt **LexBFS-Ordnung (LBO)** von  $G$ , wenn für jedes Tripel  $j < k < l$  gilt:

$$u_j \in N(u_l) \setminus N(u_k) \Rightarrow \exists i < j : u_i \in N(u_k) \setminus N(u_l).$$

Ob eine Ordnung  $(u_1, \dots, u_n)$  eine LBO ist, lässt sich also wie folgt an der gemäß  $(u_1, \dots, u_n)$  geordneten Adjazenzmatrix  $A$  ablesen: die (verkürzten) Zeilen  $z_1, \dots, z_n$  unter der Diagonalen müssen *lexikalisch* (also wie im Lexikon) sortiert sein: entweder ist  $z_i$  ein Präfix von  $z_{i+1}$  oder  $z_i$  hat an der ersten Position, wo sich die beiden Strings



unterscheiden, eine Eins. In den Übungen wird gezeigt, dass man sogar eine *lexikographische* Ordnung auf den kompletten Zeilen von  $A$  erhält, falls man die Diagonaleinträge von  $A$  auf 1 setzt und die Knoten in jeder Menge der Warteschlange  $Q$  nach absteigendem Knotengrad in  $G$  sortiert.

**Satz 2.44.** *Für jeden Graphen  $G = (V, E)$  gibt der Algorithmus  $\text{LexBFS}(V, E)$  eine LBO  $(u_1, \dots, u_n)$  von  $G$  aus.*

*Beweis.* Sei  $A = (a_{ij})$  die Adjazenzmatrix von  $G$  mit  $a_{ij} = 1 \Leftrightarrow \{u_i, u_j\} \in E$ . Wir zeigen, dass die Strings  $z_i = a_{i1}, \dots, a_{i,i-1}$  lexikalisch sortiert sind. Existiert nämlich im Fall  $k < l$  eine Position  $j < k$  mit  $a_{kj} = 0$  und  $a_{lj} = 1$ , so muss es eine Position  $i < j$  mit  $a_{ki} = 1$  und  $a_{kl} = 0$  geben. Ansonsten wäre der Knoten  $u_l$  spätestens beim Besuch von  $u_j$  in eine Menge vor dem Knoten  $u_k$  sortiert worden und könnte daher nicht nach dem Knoten  $u_k$  ausgegeben werden. ■

**Lemma 2.45.** *Jede LBO für einen chordalen Graphen  $G$  ist eine PEO für  $G$ .*

*Beweis.* Sei  $(u_1, \dots, u_n)$  eine LBO für  $G = (V, E)$  und sei  $A = (a_{ij})$  die Adjazenzmatrix von  $G$  mit  $a_{ij} = 1 \Leftrightarrow \{u_i, u_j\} \in E$ , wobei wir für  $a_{ij}$  auch  $A[i, j]$  schreiben. Wir zeigen, dass  $G$  nicht chordal ist, wenn  $u_i$  nicht simplizial in  $G_i = G[u_1, \dots, u_i]$  ist.

Falls  $u_i$  nicht simplizial in  $G_i$  ist, müssen Indizes  $i_2 < i_1 < i =: i_0$  mit  $A[i_0, i_1] = A[i_0, i_2] = 1$  und  $A[i_1, i_2] = 0$  existieren. Wegen  $A[i_1, i_2] = 0$  und  $A[i_0, i_2] = 1$  muss es einen Index  $i_3 < i_2$  geben mit  $A[i_1, i_3] = 1$  und  $A[i_2, i_3] = 0$ , wobei wir  $i_3$  möglichst klein wählen.

Falls nun  $A[i_2, i_3] = 1$  ist, haben wir einen induzierten Kreis  $G[u_{i_0}, u_{i_1}, u_{i_2}, u_{i_3}]$  der Länge 4 in  $G$  gefunden. Andernfalls muss es wegen  $A[i_2, i_3] = 0$  und  $A[i_1, i_3] = 1$  einen Index  $i_4 < i_3$  geben mit  $A[i_2, i_4] = 1$  und  $A[i_1, i_4] = 0$ , wobei wir  $i_4$  wieder möglichst

klein wählen. Da spätestens für  $i_k = 1$  kein Index  $i_{k+1} < i_k$  existiert, also  $A[i_{k-1}, i_k] = 1$  sein muss, erhalten wir eine Indexfolge  $1 \leq i_k < \dots < i_1 < i_0$  mit

- (a)  $A[i_0, i_1] = A[i_j, i_{j+2}] = A[i_{k-1}, i_k] = 1$  für  $j = 0, \dots, k-2$  und
- (b)  $A[i_0, i_3] = A[i_j, i_{j+1}] = A[i_j, i_{j+3}] = A[i_{k-2}, i_{k-1}] = 0$  für  $j = 1, \dots, k-3$  und
- (c)  $A[i_j, l] = A[i_{j-1}, l]$  für  $j = 1, \dots, k-3$  und  $l < i_{j+2}$ .

Die Eigenschaften (a) und (b) ergeben sich direkt aus der Konstruktion der Folge. Eigenschaft (c) folgt aus der minimalen Wahl der Indizes  $i_3, \dots, i_k$  und impliziert für  $r = 3, \dots, k$  die Gleichungen  $A[i_0, i_r] = A[i_1, i_r] = \dots = A[i_{r-3}, i_r]$ , indem wir  $j = 1, \dots, r-3$  und  $l = i_r$  setzen. Da zudem  $A[i_{r-3}, i_r]$  gemäß Eigenschaft (b) für  $r = 3, \dots, k$  den Wert 0 hat, folgt für alle Paare  $0 \leq j < r \leq k$  die Äquivalenz

$$A[i_j, i_r] = 1 \Leftrightarrow r = j + 2 \text{ oder } j = 0 \wedge r = 1 \text{ oder } j = k - 1 \wedge r = k.$$

Folglich ist  $G[u_{i_0}, \dots, u_{i_k}]$  ein Kreis der Länge  $k + 1 \geq 4$ . ■

Damit haben wir einen Linearzeitalgorithmus, der für chordale Graphen eine PEO berechnet. Da auch **greedy-color** linear zeitbeschränkt ist, können wir den Algorithmus **chordal-color** in Linearzeit implementieren. Diesen Algorithmus können wir leicht noch so modifizieren, dass er zusammen mit der gefundenen  $k$ -Färbung entweder eine Clique  $C$  der Größe  $k$  (als Zertifikat, dass  $\chi(G) = k = \omega(G)$  ist) oder einen induzierten Kreis der Länge  $\geq 4$  (als Zertifikat, dass  $G$  nicht chordal ist) ausgibt.

## 2.3 Kantenfärbungen

Neben der Frage, mit wievielen Farben die Knoten eines Graphen gefärbt werden können, muss bei vielen Anwendungen auch eine Kantenfärbung mit möglichst wenigen Farben gefunden werden. Neben

Graphen treten hierbei auch **Multigraphen**  $G = (V, E)$  auf, d.h. die Kantenmenge  $E$  ist eine Multimenge. In diesem Fall können 2 Kanten nicht nur einen, sondern sogar beide Endpunkte gemeinsam haben. Wie bei Graphen gehen wir aber davon aus, dass jede Kante 2 verschiedene Endpunkte hat, d.h.  $G$  ist schlingenfrei.

Eine Multimenge  $A$  lässt sich durch eine Funktion  $v_A: A \rightarrow \mathbb{N}$  beschreiben, wobei  $v_A(a)$  die Anzahl der Vorkommen von  $a$  in  $A$  angibt. Die Mächtigkeit von  $A$  ist  $|A| = \sum_{a \in A} v_A(a)$ .  $A$  ist Teilmenge einer Multimenge  $B$ , wenn  $v_A(a) \leq v_B(a)$  für alle  $a \in A$  gilt. Wie bei Mengen bezeichnen wir die Menge aller  $k$ -elementigen Teilmengen von  $B$  mit  $\binom{B}{k}$ .

**Definition 2.46.** Sei  $G = (V, E)$  ein Graph und sei  $k \in \mathbb{N}$ .

- a) Eine Abbildung  $c: E \rightarrow \mathbb{N}$  heißt **Kantenfärbung** von  $G$ , wenn  $c(e) \neq c(e')$  für alle  $e \neq e' \in E$  mit  $e \cap e' \neq \emptyset$  gilt.
- b)  $G$  heißt  **$k$ -kantenfärbbar**, falls eine Kantenfärbung  $c: E \rightarrow \{1, \dots, k\}$  existiert.
- c) Die **kantenchromatische Zahl** oder der **chromatische Index** von  $G$  ist

$$\chi'(G) = \min\{k \in \mathbb{N} \mid G \text{ ist } k\text{-kantenfärbbar}\}.$$

Eine  $k$ -Kantenfärbung  $c: E \rightarrow \mathbb{N}$  muss also je 2 Kanten, die einen gemeinsamen Endpunkt haben, verschiedene Farben zuweisen. Daher bildet jede **Farbklasse**  $E_i = \{e \in E \mid f(e) = i\}$  ein Matching von  $G$ , d.h.  $c$  zerlegt  $E$  in  $k$  disjunkte Matchings  $E_1, \dots, E_k$ . Umgekehrt liefert jede Zerlegung von  $E$  in  $k$  disjunkte Matchings eine  $k$ -Kantenfärbung von  $G$ .

Ist  $G$  ein Multigraph, so können wir eine  $k$ -Kantenfärbung von  $G$  auch durch eine Funktion  $c$  beschreiben, die jeder Kante  $e \in E$  eine Menge  $c(e) \subseteq \{1, \dots, k\}$  von  $|c(e)| = v_E(e)$  verschiedenen Farben zuordnet, so dass  $c(e) \cap c(e') = \emptyset$  für alle  $e \neq e' \in E$  mit  $e \cap e' \neq \emptyset$  gilt.

**Beispiel 2.47.**

$$\chi'(C_n) = \begin{cases} 2, & n \text{ gerade,} \\ 3, & \text{sonst,} \end{cases}$$

$$\chi'(K_n) = 2 \lceil n/2 \rceil - 1 = \begin{cases} n - 1, & n \text{ gerade,} \\ n, & \text{sonst.} \end{cases}$$

Das Kantenfärbungsproblem für einen Graphen  $G$  lässt sich leicht auf das Knotenfärbungsproblem für einen Graphen  $G'$  reduzieren.

**Definition 2.48.** Sei  $G = (V, E)$  ein Graph mit  $m \geq 1$  Kanten. Dann heißt der Graph  $L(G) = (E, E')$  mit

$$E' = \left\{ \{e, e'\} \subseteq \binom{E}{2} \mid e \cap e' \neq \emptyset \right\}$$

der **Kantengraph** oder **Line-Graph** von  $G$ .

Ist  $G$  ein Multigraph, so ersetzen wir die Multimenge  $E$  in  $L(G)$  durch eine Menge derselben Mächtigkeit, die für jede Kante  $e \in E$   $v_E(e)$  verschiedene Kopien von  $e$  enthält. Die folgenden Beziehungen zwischen einem Graphen  $G$  und  $L(G)$  lassen sich leicht verifizieren.

**Proposition 2.49.** Sei  $G' = L(G)$  der Line-Graph eines Graphen  $G$ . Dann gilt

- (i)  $n(G') = m(G)$ ,
- (ii)  $\chi(G') = \chi'(G)$ ,
- (iii)  $\alpha(G') = \mu(G)$ ,
- (iv)  $\omega(G') \geq \Delta(G)$ ,
- (v)  $\Delta(G') = \max_{\{u,v\} \in E} \deg_G(u) + \deg_G(v) - 2 \leq 2\Delta(G) - 2$ .

Damit erhalten wir aus den Abschätzungen  $\omega(G) \leq \chi(G) \leq \Delta(G) + 1$  und  $n/\alpha(G) \leq \chi(G) \leq n - \alpha(G) + 1$  die folgenden Abschätzungen für  $\chi'(G)$ .

**Lemma 2.50.** Für jeden Graphen  $G$  mit  $m \geq 1$  Kanten gilt  $\Delta \leq \chi' \leq 2\Delta - 1$  und  $m/\mu \leq \chi' \leq m - \mu + 1$ .

**Korollar 2.51.** Für jeden  $k$ -regulären Graphen mit einer ungeraden Knotenzahl und  $m \geq 1$  Kanten gilt  $\chi'(G) \geq k + 1 \geq 3$ .

*Beweis.* Wegen  $\mu \leq (n - 1)/2$  und  $m = nk/2$  folgt  $\chi' \geq m/\mu \geq nk/(n - 1) > k$ . Da  $n$  ungerade und  $m \geq 1$  ist, muss  $k \geq 2$  sein. ■

Als nächstes geben wir einen Algorithmus an, der für jeden Graphen  $G$  eine  $k$ -Kantenfärbung mit  $k \leq \Delta(G) + 1$  berechnet. Für den Beweis benötigen wir folgende Begriffe.

**Definition 2.52.** Sei  $G = (V, E)$  ein Graph und sei  $c: E \rightarrow \{1, \dots, k\}$  eine  $k$ -Kantenfärbung von  $G$ . Weiter sei  $F \subseteq \{1, \dots, k\}$  und  $1 \leq i \neq j \leq k$ .

- Ein Nachbar  $v$  von  $u$  heißt **F-Nachbar** von  $u$ , wenn  $c(u, v) \in F$  ist (wobei  $c(u, v)$  für  $c(\{u, v\})$  steht). Im Fall  $F = \{i\}$  nennen wir  $v$  auch einen  **$i$ -Nachbarn** von  $u$ .
- Die Farbe  $i$  ist **frei** an einem Knoten  $u$  (kurz  $i \in \text{free}(u)$ ), falls  $u$  keinen  $i$ -Nachbarn hat.
- Der  **$(i, j)$ -Subgraph** von  $G$  ist der Subgraph  $G_{ij} = (V, E_{ij})$  mit  $E_{ij} = \{e \in E \mid c(e) \in \{i, j\}\}$ .
- Jede Zusammenhangskomponente  $G'$  von  $G_{ij}$  heißt  **$(i, j)$ -Komponente** von  $G$ . Ist  $G'$  ein Pfad oder ein Kreis, so nennen wir  $G'$  auch  **$(i, j)$ -Pfad** bzw.  **$(i, j)$ -Kreis** in  $G$  (bzgl.  $c$ ).

Man sieht leicht, dass jede  $(i, j)$ -Komponente  $G'$  von  $G$  entweder ein Pfad der Länge  $l \geq 0$  oder ein Kreis gerader Länge ist. Zudem können wir aus  $c$  eine weitere  $k$ -Kantenfärbung  $c'$  von  $G$  gewinnen, indem wir die beiden Farben  $i$  und  $j$  entlang der Kanten von  $G'$  vertauschen. Wir bezeichnen diese  $k$ -Kantenfärbung  $c'$  mit  $\text{switch}(c, i, j, G')$ .

**Satz 2.53** (Vizing 1964). Für jeden Graphen  $G$  gilt  $\chi'(G) \leq \Delta(G) + 1$ .

*Beweis.* Wir führen Induktion über  $m$ . Der Fall  $m = 0$  ist trivial. Für den IS sei  $G' = (V, E')$  ein Graph mit  $m + 1$  Kanten. Wir wählen eine beliebige Kante  $e_1 = \{y_0, y_1\} \in E$ . Dann hat der Graph

$G = G' - e_1 = (V, E)$  mit  $E = E' \setminus \{e_1\}$  nur noch  $m$  Kanten und daher hat  $G$  nach IV für  $k = \Delta(G') + 1$  eine  $k$ -Kantenfärbung  $c: E \rightarrow \{1, \dots, k\}$ . Da zudem unter  $c$  an jedem Knoten  $u$  mindestens  $k - \deg_G(u) > 0$  Farben frei sind, folgt  $\text{free}(u) \neq \emptyset$  für alle  $u \in V$ . Betrachte nun folgende Prozeduren.

**Prozedur**  $\text{expand}(G, c, e_1 = \{y_0, y_1\})$

---

```

1   $\ell \leftarrow 1$ 
2  wähle  $\alpha_1 \in \text{free}(y_1)$ 
3  while  $\alpha_\ell \notin \text{free}(y_0) \cup \{\alpha_1, \dots, \alpha_{\ell-1}\}$  do
4    sei  $y_{\ell+1}$  der  $\alpha_\ell$ -Nachbar von  $y_0$ 
5    wähle  $\alpha_{\ell+1} \in \text{free}(y_{\ell+1})$ 
6     $\ell \leftarrow \ell + 1$ 
7  wähle  $0 \leq i < \ell$  minimal mit  $\alpha_\ell \in \text{free}(y_0) \cup \{\alpha_1, \dots, \alpha_i\}$ 
8  if  $i = 0$  then //  $\alpha_\ell \in \text{free}(y_0)$ 
9    recolor $(\ell, \alpha_\ell)$ 
10 else //  $\alpha_\ell = \alpha_i$ 
11   wähle eine Farbe  $\alpha_0 \in \text{free}(y_0)$ 
12   berechne den  $(\alpha_0, \alpha_i)$ -Pfad  $P$  mit Endknoten  $y_\ell$ 
13    $c' \leftarrow \text{switch}(c, \alpha_0, \alpha_i, P)$ 
14   sei  $z$  der Knoten am anderen Ende von  $P$  //  $z = y_\ell$  ist möglich
15   case
16      $z = y_0$ : recolor $(i, \alpha_i)$ 
17      $z = y_i$ : recolor $(i, \alpha_0)$ 
18   else recolor $(\ell, \alpha_0)$ 
19 return  $c'$ 

```

---

**Prozedur**  $\text{recolor}(i, \alpha)$

---

```

1   $c'(y_0, y_i) \leftarrow \alpha$ 
2  for  $j \leftarrow 1$  to  $i - 1$  do  $c'(y_0, y_j) \leftarrow \alpha_j$ 

```

---

Wir verifizieren, dass die Abbildung  $c'$  eine Kantenfärbung von  $G'$  ist.

**Fall 1**  $\alpha_\ell \in \text{free}(y_0)$ : Da die Farbe  $\alpha_\ell$  an  $y_0$  und für  $j = 1, \dots, \ell$  die

Farbe  $\alpha_j$  an  $y_j$  frei ist, können wir  $\{y_0, y_j\}$  mit  $\alpha_j$  färben.

**Fall 2**  $z = y_0$ : In diesem Fall erreicht  $P$  den Knoten  $z = y_0$  über die Kante  $\{y_0, y_{i+1}\}$ . Nach dem Vertauschen von  $\alpha_0$  und  $\alpha_i$  entlang  $P$  hat diese Kante dann die Farbe  $\alpha_0$ , weshalb wir die Kanten  $\{y_0, y_j\}$  für  $j = 1, \dots, i$  mit  $\alpha_j$  färben können.

**Fall 3**  $z = y_i$ : Da  $\alpha_i \in \text{free}(y_i) \cap \text{free}(y_\ell)$  ist, müssen die Endkanten von  $P$  mit  $\alpha_0$  gefärbt sein. Nach Vertauschen von  $\alpha_0$  und  $\alpha_i$  entlang  $P$  ist daher die Farbe  $\alpha_0$  an  $y_0$  und  $y_i$  frei, weshalb wir die Kante  $\{y_0, y_i\}$  mit  $\alpha_0$  und die Kanten  $\{y_0, y_j\}$  für  $j = 1, \dots, i-1$  mit  $\alpha_j$  färben können.

**Fall 4** In allen anderen Fällen ist die Farbe  $\alpha_0$  nach Vertauschen von  $\alpha_0$  und  $\alpha_i$  entlang  $P$  neben  $y_0$  auch an  $y_\ell$  frei, weshalb wir die Kante  $\{y_0, y_\ell\}$  mit  $\alpha_0$  färben können. Da zudem die Farbe  $\alpha_j$  für  $j = 1, \dots, \ell-1$  an  $y_j$  frei bleibt (auch wenn  $z \in \{y_1, \dots, y_{i-1}, y_{i+1}, \dots, y_\ell\}$  ist), können wir die Kanten  $\{y_0, y_j\}$  für  $j = 1, \dots, \ell-1$  mit  $\alpha_j$  färben. ■

Da die Prozedur **expand** mit Hilfe geeigneter Datenstrukturen so implementiert werden kann, dass jeder Aufruf Zeit  $\mathcal{O}(n)$  erfordert, und diese Prozedur  $m$ -mal aufgerufen wird, um alle  $m$  Kanten eines gegebenen Graphen  $G$  zu färben, ergibt sich eine Gesamtlaufzeit von  $\mathcal{O}(nm)$ . Zudem erhalten wir aus dem Beweis des Satzes von Vizing folgende Konsequenzen.

**Korollar 2.54.** Für jeden Multigraphen  $G = (V, E)$  gilt

$$(i) \chi'(G) \leq \Delta(G) + \max_{e \in E} v_E(e).$$

$$(ii) \chi'(G) \leq 3\Delta(G)/2.$$

$$(iii) \text{ Falls } G \text{ bipartit (d.h. } \chi(G) \leq 2) \text{ ist, dann ist } \chi'(G) = \Delta(G).$$

*Beweis.* Siehe Übungen. ■

Für einen Graphen  $G$  kann  $\chi'(G)$  nur einen der beiden Werte  $\Delta(G)$  oder  $\Delta(G) + 1$  annehmen. Graphen  $G$  mit  $\chi'(G) = \Delta(G)$  heißen **Klasse 1** und Graphen  $G$  mit  $\chi'(G) = \Delta(G) + 1$  heißen **Klasse 2**.

Neben allen bipartiten Graphen sind auch die vollständigen Graphen  $K_n$  für gerades  $n$  Klasse 1. Zudem sind alle planaren Graphen  $G$  mit  $\Delta(G) \geq 7$  Klasse 1. Für  $2 \leq d \leq 5$  existieren planare Graphen  $G$  mit  $\Delta(G) = d$ , die Klasse 2 sind. Für  $d = 6$  ist dies offen.

Das Problem, für einen gegebenen Graphen  $G$  zu entscheiden, ob er Klasse 1 ist (also  $\chi'(G) \leq \Delta(G)$  gilt), ist NP-vollständig.

Zum Schluss dieses Kapitels zeigen wir, dass die entsprechende Frage für Knotenfärbungen sehr leicht entscheidbar ist.

## 2.4 Der Satz von Brooks

**Satz 2.55** (Brooks 1941). Für einen zusammenhängenden Graphen  $G$  gilt  $\chi(G) = \Delta(G) + 1$  genau dann, wenn  $G = C_{2n+1}$  oder  $G = K_n$  für ein  $n \geq 1$  ist.

*Beweis.* Es ist klar, dass die Graphen  $G = C_{2n+1}$  und  $G = K_n$ ,  $n \geq 1$ , die chromatische Zahl  $\Delta(G) + 1$  haben. Für  $\Delta(G) \leq 2$  sind dies auch die einzigen zusammenhängenden Graphen mit dieser Eigenschaft.

Sei nun  $G \neq K_{d+1}$  ein zusammenhängender Graph mit Maximalgrad  $\Delta(G) = d \geq 3$ . Wir zeigen induktiv über  $n$ , dass  $\chi(G) \leq d$  ist. Im Fall  $n \leq 4$  (IA) ist dies klar, da wir den  $K_4$  ausgeschlossen haben. Für den IS können wir also  $n \geq 5$  annehmen.

Falls  $\kappa(G) \leq 1$  ist, hat  $G$   $k \geq 2$  Blöcke  $B_1, \dots, B_k$ . Dann ist jeder Block  $B_i$  nach IV (bzw. wegen  $\Delta(B_i) < \Delta(G) = d$ )  $d$ -färbbar und somit auch  $\chi(G) \leq d$ . Es bleibt also der Fall, dass  $\kappa(G) \geq 2$  ist.

**Behauptung 2.56.** In  $G$  gibt es einen Knoten  $u_1$ , der zwei Nachbarn  $a$  und  $b$  mit  $\{a, b\} \notin E$  hat, so dass  $G - \{a, b\}$  zusammenhängend ist.

Da  $G \neq K_{d+1}$  ist, gibt es einen Knoten  $x$ , der zwei Nachbarn  $y, z \in N(x)$  mit  $\{y, z\} \notin E$  hat. Falls  $G - y$  2-zusammenhängend ist, ist  $G - \{y, z\}$  zusammenhängend und die Behauptung folgt für  $u_1 = x$ .

Ist  $G - y$  nicht 2-zusammenhängend, d.h.  $G - y$  hat mindestens zwei Blöcke, dann hat der BC-Baum  $T$  von  $G - y$  mindestens zwei Blätter. Da  $\kappa(G) \geq 2$  ist, ist  $y$  in  $G$  zu mindestens einem Knoten in jedem Blatt von  $T$  benachbart, der kein Schnittknoten ist. Wählen wir für  $a$  und  $b$  zwei dieser Knoten in verschiedenen Blättern, so ist  $G - \{a, b\}$  zusammenhängend und somit die Behauptung für  $u_1 = y$  bewiesen.

Sei also  $u_1$  ein Knoten, der zwei Nachbarn  $a$  und  $b$  mit  $\{a, b\} \notin E$  hat, so dass  $G - \{a, b\}$  zusammenhängend ist. Wir wenden auf den Graphen  $G - \{a, b\}$  eine Suche mit dem Startknoten  $u_1$  an. Sei  $(u_1, \dots, u_{n-2})$  die resultierende Suchordnung. Nun starten wir **greedy-color** mit der Reihenfolge  $(a, b, u_{n-2}, \dots, u_1)$ .

Dann berechnet **greedy-color** eine  $d$ -Färbung  $c$ , da die Knoten  $a$  und  $b$  die Farbe  $c(a) = c(b) = 1$  erhalten. Zudem ist jeder Knoten  $u_i, i > 1$ , mit einem Knoten  $u_j$  mit  $j < i$  verbunden, weshalb  $c(u_i) \leq \deg(u_i) \leq d$  ist. Zuletzt erhält auch  $u_1$  eine Farbe  $c(u_1) \leq d$ , da  $u_1$  bereits zwei Nachbarn  $a$  und  $b$  mit derselben Farbe hat. ■

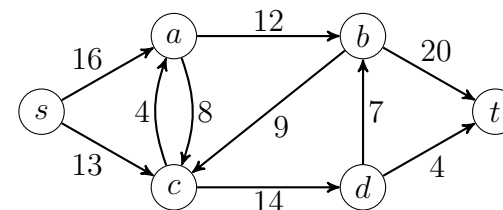
In den Übungen wird folgende Folgerung aus dem Beweis des Satzes von Brooks gezeigt.

**Korollar 2.57.** *Es gibt einen Linearzeitalgorithmus, der alle Graphen  $G$  mit  $\Delta(G) \leq 3$  mit  $\chi(G)$  Farben färbt.*

### 3 Flüsse in Netzwerken

**Definition 3.1.** *Ein **Netzwerk**  $N = (V, E, s, t, c)$  besteht aus einem gerichteten Graphen  $G = (V, E)$  mit einer **Quelle**  $s \in V$  und einer **Senke**  $t \in V$  sowie einer **Kapazitätsfunktion**  $c : V \times V \rightarrow \mathbb{N}$ . Zudem muss jede Kante  $(u, v) \in E$  positive Kapazität  $c(u, v) > 0$  und jede Nichtkante  $(u, v) \notin E$  die Kapazität  $c(u, v) = 0$  haben.*

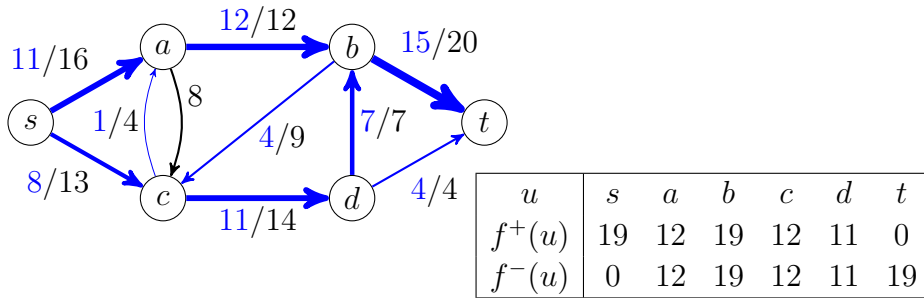
Die folgende Abbildung zeigt ein Netzwerk  $N$ .



**Definition 3.2.**

- a) Ein **Fluss in N** ist eine Funktion  $f : V \times V \rightarrow \mathbb{Z}$  mit
  - $f(u, v) \leq c(u, v)$ , (Kapazitätsbedingung)
  - $f(u, v) = -f(v, u)$ , (Antisymmetrie)
  - $\sum_{v \neq u} f(u, v) = 0$  für alle  $u \in V \setminus \{s, t\}$  (Kontinuität)
- b) Der **Fluss in den Knoten u** ist  $f^-(u) = \sum_{v \neq u} \max\{0, f(v, u)\}$ .
- c) Der **Fluss aus u** ist  $f^+(u) = \sum_{v \neq u} \max\{0, f(u, v)\}$ .
- d) Die **Größe von f** ist  $|f| = f^+(s) - f^-(s) = \sum_{v \neq s} f(s, v)$ .

Die Antisymmetrie impliziert, dass  $f(u, u) = 0$  für alle  $u \in V$  ist, d.h. wir können annehmen, dass  $G$  schlingenfrei ist. Die folgende Abbildung zeigt einen Fluss  $f$  in  $N$ .



### 3.1 Der Ford-Fulkerson-Algorithmus

Wie lässt sich für einen Fluss  $f$  in einem Netzwerk  $N$  entscheiden, ob er vergrößert werden kann? Diese Frage lässt sich leicht beantworten, falls  $f$  der konstante Nullfluss  $f = 0$  ist: In diesem Fall genügt es, in  $G = (V, E)$  einen Pfad von  $s$  nach  $t$  zu finden. Andernfalls können wir zu  $N$  und  $f$  ein Netzwerk  $N_f$  konstruieren, so dass  $f$  genau dann vergrößert werden kann, wenn sich in  $N_f$  der Nullfluss vergrößern lässt.

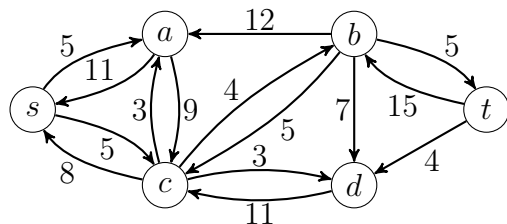
**Definition 3.3.** Sei  $N = (V, E, s, t, c)$  ein Netzwerk und sei  $f$  ein Fluss in  $N$ . Das zugeordnete **Restnetzwerk** ist  $N_f = (V, E_f, s, t, c_f)$  mit der Kapazität

$$c_f(u, v) = c(u, v) - f(u, v)$$

und der Kantenmenge

$$E_f = \{(u, v) \in V \times V \mid c_f(u, v) > 0\}.$$

Zum Beispiel führt obiger Fluss auf das folgende Restnetzwerk  $N_f$ :



**Definition 3.4.** Sei  $N_f = (V, E_f, s, t, c_f)$  ein Restnetzwerk. Dann heißt jeder  $s$ - $t$ -Pfad  $P$  in  $(V, E_f)$  **Zunahmepfad** in  $N_f$ . Die **Kapazität von  $P$  in  $N_f$**  ist

$$c_f(P) = \min\{c_f(u, v) \mid (u, v) \text{ liegt auf } P\}$$

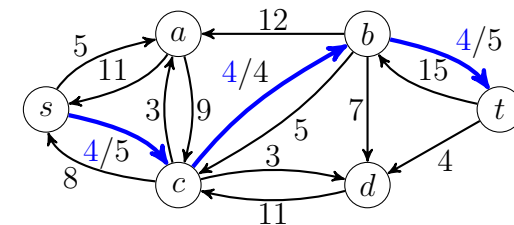
und der zu  $P$  gehörige **Fluss in  $N_f$**  ist

$$f_P(u, v) = \begin{cases} c_f(P), & (u, v) \text{ liegt auf } P, \\ -c_f(P), & (v, u) \text{ liegt auf } P, \\ 0, & \text{sonst.} \end{cases}$$

$P = (u_0, \dots, u_k)$  ist also genau dann ein Zunahmepfad in  $N_f$ , falls

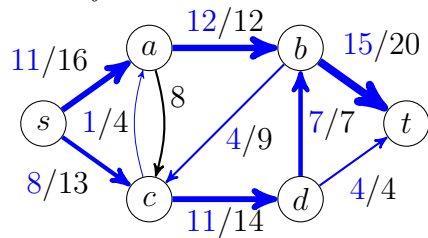
- $u_0 = s$  und  $u_k = t$  ist,
- die Knoten  $u_0, \dots, u_k$  paarweise verschieden sind
- und  $c_f(u_i, u_{i+1}) > 0$  für  $i = 0, \dots, k - 1$  ist.

Die folgende Abbildung zeigt den zum Zunahmepfad  $P = s, c, b, t$  gehörigen Fluss  $f_P$  in  $N_f$ . Die Kapazität von  $P$  ist  $c_f(P) = 4$ .

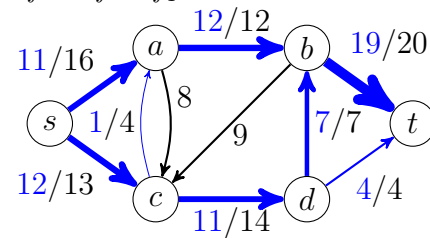


Es ist leicht zu sehen, dass  $f_P$  tatsächlich ein Fluss in  $N_f$  ist. Durch Addition der beiden Flüsse  $f$  und  $f_P$  erhalten wir einen Fluss  $f' = f + f_P$  in  $N$  der Größe  $|f'| = |f| + |f_P| > |f|$ .

Fluss  $f$ :



Fluss  $f' = f + f_P$ :

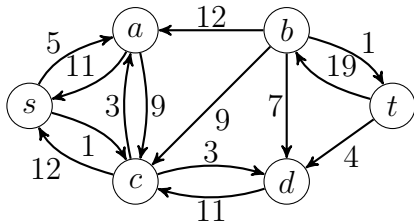


Nun können wir den **Ford-Fulkerson-Algorithmus** angeben.

**Algorithmus Ford-Fulkerson**( $V, E, s, t, c$ )

- 1 **for all**  $(u, v) \in E \cup E^R$  **do**
- 2      $f(u, v) \leftarrow 0$
- 3 **while** es gibt einen Zunahmepfad  $P$  in  $N_f$  **do**
- 4      $f \leftarrow f + f_P$

**Beispiel 3.5.** Für den neuen Fluss erhalten wir nun folgendes Restnetzwerk:



In diesem existiert kein Zunahmepfad mehr. ◁

Um zu beweisen, dass der Algorithmus von Ford-Fulkerson tatsächlich einen Maximalfluss berechnet, zeigen wir, dass es nur dann im Restnetzwerk  $N_f$  keinen Zunahmepfad mehr gibt, wenn der Fluss  $f$  maximal ist. Hierzu benötigen wir den Begriff des Schnitts.

**Definition 3.6.** Sei  $N = (V, E, s, t, c)$  ein Netzwerk und sei  $\emptyset \subsetneq S \subsetneq V$ . Dann heißt die Menge  $E(S) = \{(u, v) \in E \mid u \in S, v \notin S\}$  **Kantenschnitt** (oder einfach **Schnitt**; oft wird auch einfach  $S$  als Schnitt bezeichnet). Die **Kapazität eines Schnittes**  $S$  ist

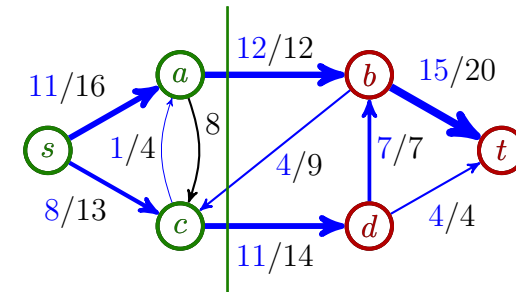
$$c(S) = \sum_{u \in S, v \notin S} c(u, v).$$

Ist  $f$  ein Fluss in  $N$ , so heißt

$$f(S) = \sum_{u \in S, v \notin S} f(u, v)$$

der **Nettofluss** (oder einfach **Fluss**) durch den Schnitt  $S$ . Ist  $u \in S$  und  $v \notin S$ , so heißt  $S$  auch  **$u$ - $v$ -Schnitt**.

**Beispiel 3.7.** Betrachte folgenden Schnitt  $S = \{s, a, c\}$  in  $N$ :



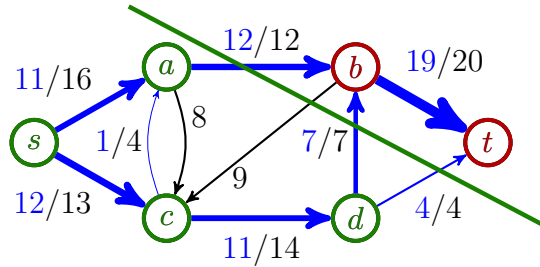
Dieser Schnitt hat die Kapazität

$$c(S) = c(a, b) + c(c, d) = 12 + 14 = 26$$

und der Fluss  $f$  durch ihn ist

$$f(S) = f(a, b) + f(c, b) + f(c, d) = 12 - 4 + 11 = 19.$$

Dagegen hat der Schnitt  $S' = \{s, a, c, d\}$



die Kapazität

$$c(S') = c(a, b) + c(d, b) + c(d, t) = 12 + 7 + 4 = 23$$

$$= f'(a, b) + f'(d, b) + f'(d, t) = f'(S'),$$

die mit dem Fluss  $f'$  durch  $S'$  übereinstimmt.  $\triangleleft$

**Lemma 3.8.** Für jeden  $s$ - $t$ -Schnitt  $S$  und jeden Fluss  $f$  gilt

$$|f| = f(S) \leq c(S).$$

*Beweis.* Die Gleichheit  $|f| = f(S)$  zeigen wir durch Induktion über  $k = \|S\|$ .

$k = 1$ : In diesem Fall ist  $S = \{s\}$  und somit

$$|f| = f^+(s) - f^-(s) = \sum_{v \neq s} f(s, v) = f(S).$$

$k - 1 \rightsquigarrow k$ : Sei  $S$  ein Schnitt mit  $\|S\| = k > 1$  und sei  $w \in S - \{s\}$ . Betrachte den Schnitt  $S' = S - \{w\}$ . Dann gilt

$$f(S) = \sum_{u \in S, v \notin S} f(u, v) = \sum_{u \in S', v \notin S} f(u, v) + \sum_{v \notin S} f(w, v)$$

und

$$f(S') = \sum_{u \in S', v \notin S'} f(u, v) = \sum_{u \in S', v \notin S} f(u, v) + \sum_{u \in S'} f(u, w).$$

Daher folgt

$$f(S) - f(S') = \sum_{v \notin S} f(w, v) - \sum_{u \in S'} f(u, w) = \sum_{v \neq w} f(w, v) = 0.$$

Nach Induktionsvoraussetzung folgt somit  $f(S) = f(S') = |f|$ . Schließlich folgt wegen  $f(u, v) \leq c(u, v)$  die Ungleichung

$$f(S) = \sum_{(u,v) \in E(S)} f(u, v) \leq \sum_{(u,v) \in E(S)} c(u, v) = c(S). \quad \blacksquare$$

**Satz 3.9** (Min-Cut-Max-Flow-Theorem). Sei  $f$  ein Fluss in einem Netzwerk  $N = (V, E, s, t, c)$ . Dann sind folgende Aussagen äquivalent:

1.  $f$  ist maximal, d.h. für jeden Fluss  $f'$  in  $N$  gilt  $|f'| \leq |f|$ .
2. In  $N_f$  existiert kein Zunahmepfad.
3. Es gibt einen  $s$ - $t$ -Schnitt  $S$  in  $N$  mit  $c(S) = |f|$ .

*Beweis.* Die Implikation „1  $\Rightarrow$  2“ ist klar, da die Existenz eines Zunahmepfads in  $N_f$  zu einer Vergrößerung von  $f$  führen würde.

Für die Implikation „2  $\Rightarrow$  3“ betrachten wir den Schnitt

$$S = \{u \in V \mid u \text{ ist in } N_f \text{ von } s \text{ aus erreichbar}\}.$$

Da in  $N_f$  kein Zunahmepfad existiert, gilt dann

- $s \in S, t \notin S$  und
- $c_f(u, v) = 0$  für alle  $u \in S$  und  $v \notin S$ .

Wegen  $c_f(u, v) = c(u, v) - f(u, v)$  folgt somit

$$|f| = f(S) = \sum_{u \in S, v \notin S} f(u, v) = \sum_{u \in S, v \notin S} c(u, v) = c(S).$$

Die Implikation „3  $\Rightarrow$  1“ ergibt sich aus der Tatsache, dass im Fall  $c(S) = |f|$  für jeden Fluss  $f'$  die Abschätzung  $|f'| = f'(S) \leq c(S) = |f|$  gilt.  $\blacksquare$

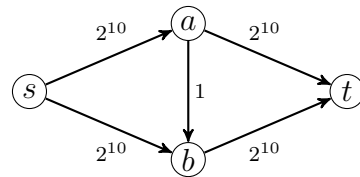


Der obige Satz gilt auch für Netzwerke mit Kapazitäten in  $\mathbb{R}^+$ .

Sei  $c_0 = c(S)$  die Kapazität des Schnittes  $S = \{s\}$ . Dann durchläuft der Ford-Fulkerson-Algorithmus die while-Schleife höchstens  $c_0$ -mal. Bei jedem Durchlauf ist zuerst das Restnetzwerk  $N_f$  und danach ein Zunahmepfad in  $N_f$  zu berechnen.

Die Berechnung des Zunahmepfades  $P$  kann durch Breitensuche in Zeit  $\mathcal{O}(n + m)$  erfolgen. Da sich das Restnetzwerk nur entlang von  $P$  ändert, kann es in Zeit  $\mathcal{O}(n)$  aktualisiert werden. Jeder Durchlauf benötigt also Zeit  $\mathcal{O}(n + m)$ , was auf eine Gesamtlaufzeit von  $\mathcal{O}(c_0(n + m))$  führt. Da der Wert von  $c_0$  jedoch exponentiell in der Länge der Eingabe (also der Beschreibung des Netzwerkes  $N$ ) sein kann, ergibt dies keine polynomielle Zeitschranke. Bei Netzwerken mit Kapazitäten in  $\mathbb{R}^+$  kann der Ford-Fulkerson-Algorithmus sogar unendlich lange laufen (siehe Übungen).

Bei nebenstehendem Netzwerk benötigt Ford-Fulkerson zur Bestimmung des Maximalflusses abhängig von der Wahl der Zunahmepfade zwischen 2 und  $2^{11}$  Schleifendurchläufe.



Im günstigsten Fall wird nämlich ausgehend vom Nullfluss  $f_1$  zuerst der Zunahmepfad  $P_1 = (s, a, t)$  mit der Kapazität  $2^{10}$  und dann im Restnetzwerk  $N_{f_1}$  der Pfad  $P_2 = (s, b, t)$  mit der Kapazität  $2^{10}$  gewählt.

Im ungünstigsten Fall werden abwechselnd die beiden Zunahmepfade  $P_1 = (s, a, b, t)$  und  $P_2 = (s, b, a, t)$  (also  $P_i = P_1$  für ungerades  $i$  und  $P_i = P_2$  für gerades  $i$ ) mit der Kapazität 1 gewählt. Dies führt auf insgesamt  $2^{11}$  Schleifendurchläufe (siehe nebenstehende Tabelle).

Nicht nur in diesem Beispiel lässt sich die exponentielle Laufzeit wie folgt vermeiden:

- Man betrachtet nur Zunahmepfade mit einer geeignet gewählten Mindestkapazität. Dies führt auf eine Laufzeit, die polynomiell in  $n, m$  und  $\log c_0$  ist (siehe Übungen).

$i$	Fluss $f_{P_i}$ in $N_{f_i}$	neuer Fluss $f_{i+1}$ in $N$
1		
2		
⋮		
$2j - 1,$ $1 < j \leq 2^{10}$		
$2j,$ $1 < j < 2^{10}$		
⋮		
$2^{11}$		

- Man bestimmt in jeder Iteration einen kürzesten Zunahmepfad im Restnetzwerk mittels Breitensuche in Zeit  $\mathcal{O}(n + m)$ . Diese Vorgehensweise führt auf den *Edmonds-Karp-Algorithmus*, der eine Laufzeit von  $\mathcal{O}(nm^2)$  hat (unabhängig von der Kapazitätsfunktion).
- Man bestimmt in jeder Iteration einen Fluss  $g$  im Restnetzwerk  $N_f$ , der nur Kanten benutzt, die auf einem kürzesten  $s$ - $t$ -Pfad in  $N_f$  liegen. Zudem hat  $g$  die Eigenschaft, dass  $g$  auf jedem kürzesten  $s$ - $t$ -Pfad  $P$  mindestens eine Kante  $e \in P$  *sättigt* (d.h. der Fluss  $g(e)$  durch  $e$  schöpft die Restkapazität  $c_f(e)$  von  $e$  vollkommen aus), weshalb diese Kante in der nächsten Iteration fehlt. Dies führt auf den *Algorithmus von Dinitz*. Da die Länge der kürzesten  $s$ - $t$ -Pfade im Restnetzwerk in jeder Iteration um mindestens 1 zunimmt, liegt nach spätestens  $n - 1$  Iterationen ein maximaler Fluss vor. Dinitz hat gezeigt, dass der Fluss  $g$  in Zeit  $\mathcal{O}(nm)$  bestimmt werden kann. Folglich hat der Algorithmus von Dinitz eine Laufzeit von  $\mathcal{O}(n^2m)$ . Malhotra, Kumar und Maheswari fanden später einen  $\mathcal{O}(n^2)$ -Algorithmus zur Bestimmung von  $g$ . Damit lässt sich die Gesamtlaufzeit auf  $\mathcal{O}(n^3)$  verbessern.

### 3.2 Der Edmonds-Karp-Algorithmus

Der Edmonds-Karp-Algorithmus ist eine spezielle Form von Ford-Fulkerson, die nur Zunahmepfade mit möglichst wenigen Kanten benutzt, welche mittels Breitensuche bestimmt werden.

#### Algorithmus Edmonds-Karp( $V, E, s, t, c$ )

---

```

1  for all  $(u, v) \in E \cup E^R$  do
2     $f(u, v) \leftarrow 0$ 
3  repeat
4     $P \leftarrow \text{zunahmepfad}(f)$ 
5    if  $P \neq \perp$  then  $\text{add}(f, P)$ 
6  until  $P = \perp$ 

```

---

#### Prozedur $\text{zunahmepfad}(f)$

---

```

1  for all  $v \in V \setminus \{s\}$  do
2     $\text{parent}(v) \leftarrow \perp$ 
3   $\text{parent}(s) \leftarrow s$ 
4   $Q \leftarrow (s)$ 
5  while  $Q \neq () \wedge \text{parent}(t) = \perp$  do
6     $u \leftarrow \text{dequeue}(Q)$ 
7    for all  $e = (u, v) \in E \cup E^R$  do
8      if  $c(e) - f(e) > 0 \wedge \text{parent}(v) = \perp$  then
9         $c'(e) \leftarrow c(e) - f(e)$ 
10        $\text{parent}(v) \leftarrow u$ 
11        $\text{enqueue}(Q, v)$ 
12  if  $\text{parent}(t) = \perp$  then
13     $P \leftarrow \perp$ 
14  else
15     $P \leftarrow \text{parent-Pfad von } s \text{ nach } t$ 
16     $c_f(P) \leftarrow \min\{c'(e) \mid e \in P\}$ 
17  return  $P$ 

```

---

#### Prozedur $\text{add}(f, P)$

---

```

1  for all  $e \in P$  do
2     $f(e) \leftarrow f(e) + c_f(P)$ 
3     $f(e^R) \leftarrow f(e^R) - c_f(P)$ 

```

---

Die Prozedur  $\text{zunahmepfad}(f)$  berechnet im Restnetzwerk  $N_f$  einen (gerichteten)  $s$ - $t$ -Pfad  $P$ , sofern ein solcher existiert. Dies ist genau dann der Fall, wenn die while-Schleife mit  $\text{parent}(t) \neq \perp$  abbricht. Der Pfad  $P$  lässt sich dann mittels  $\text{parent}$  wie folgt zurückverfolgen. Sei

$$u_i = \begin{cases} t, & i = 0, \\ \text{parent}(u_{i-1}), & i > 0 \text{ und } u_{i-1} \neq s \end{cases}$$

und sei  $\ell = \min\{i \geq 0 \mid u_i = s\}$ . Dann ist  $u_\ell = s$  und  $P = (u_\ell, \dots, u_0)$

ein  $s$ - $t$ -Pfad, den wir als den **parent-Pfad** von  $s$  nach  $t$  bezeichnen.

**Satz 3.10.** *Der Edmonds-Karp-Algorithmus durchläuft die repeat-Schleife höchstens  $nm/2$ -mal und hat somit eine Laufzeit von  $O(nm^2)$ .*

*Beweis.* Sei  $f_1$  der triviale Nullfluss und seien  $P_1, \dots, P_k$  die Zunahmepfade, die der Edmonds-Karp-Algorithmus der Reihe nach berechnet, d.h.  $f_{i+1} = f_i + f_{P_i}$ . Eine Kante  $e$  in  $P_i$  heißt **kritisch** für  $P_i$ , falls der Fluss  $f_{P_i}$  im Restnetzwerk  $N_{f_i}$  die Kante  $e$  **sättigt**, d.h.  $c_{f_i}(e) = f_{P_i}(e) = c_{f_i}(P_i)$ . Man beachte, dass eine kritische Kante  $e$  in  $P_i$  wegen  $c_{f_{i+1}}(e) = c_{f_i}(e) - f_{P_i}(e) = 0$  nicht in  $N_{f_{i+1}}$  enthalten ist, wohl aber die Kante  $e^R$ .

Wir überlegen uns zunächst, dass die Längen  $l_i$  von  $P_i$  (schwach) monoton wachsen. Hierzu beweisen wir die stärkere Behauptung, dass sich die Abstände jedes Knotens  $u \in V$  von  $s$  und von  $t$  beim Übergang von  $N_{f_i}$  zu  $N_{f_{i+1}}$  nicht verringern können. Sei  $d_i(u, v)$  die minimale Länge eines Pfades von  $u$  nach  $v$  im Restnetzwerk  $N_{f_i}$ .

**Behauptung 3.11.** *Für jeden Knoten  $u \in V$  gilt  $d_{i+1}(s, u) \geq d_i(s, u)$  und  $d_{i+1}(u, t) \geq d_i(u, t)$ .*

Hierzu zeigen wir folgende Behauptung.

**Behauptung 3.12.** *Für jeden kürzesten Pfad  $P = (u_0, \dots, u_h)$  von  $u_0 = s$  nach  $u_h = t$  in  $N_{f_{i+1}}$  (d.h.  $d_{i+1}(s, u_j) = j$  für  $j = 0, \dots, h$ ) gilt  $d_i(s, u_j) \leq d_i(s, u_{j-1}) + 1$  für  $j = 1, \dots, h$ .*

Die Behauptung ist klar, wenn die Kante  $e = (u_{j-1}, u_j)$  auch in  $N_{f_i}$  enthalten ist. Ist dies nicht der Fall, muss  $f_{i+1}(e) \neq f_i(e)$  sein, d.h.  $e$  oder  $e^R$  müssen in  $P_i$  vorkommen. Da  $e$  nicht in  $N_{f_i}$  ist, muss  $e^R = (u_j, u_{j-1})$  auf  $P_i$  liegen. Da  $P_i$  ein kürzester Pfad von  $s$  nach  $t$  in  $N_{f_i}$  ist, folgt  $d_i(s, u_{j-1}) = d_i(s, u_j) + 1$ , was  $d_i(s, u_j) = d_i(s, u_{j-1}) - 1 \leq d_i(s, u_{j-1}) + 1$  impliziert.

Damit ist Behauptung 3.12 bewiesen und es folgt

$$d_i(s, u) \leq d_i(s, u_{h-1}) + 1 \leq \dots \leq d_i(s, s) + h = h = d_{i+1}(s, u).$$

Die folgende Behauptung lässt sich analog zu Behauptung 3.12 zeigen.

**Behauptung 3.13.** *Für jeden kürzesten Pfad  $P = (u_0, \dots, u_h)$  von  $u_0 = u$  nach  $u_h = t$  in  $N_{f_{i+1}}$  (d.h.  $d_{i+1}(u_j, t) = h - j$  für  $j = 0, \dots, h$ ) gilt  $d_i(u_{j-1}, t) \leq d_i(u_j, t) + 1$  für  $j = 1, \dots, h$ .*

Damit folgt

$$d_i(u, t) \leq d_i(u_1, t) + 1 \leq \dots \leq d_i(t, t) + h = h = d_{i+1}(u, t),$$

womit Behauptung 3.11 bewiesen ist. Als nächstes zeigen wir folgende Behauptung.

**Behauptung 3.14.** *Für  $1 \leq i < j \leq k$  gilt: Falls  $e = (u, v)$  in  $P_i$  und  $e^R = (v, u)$  in  $P_j$  enthalten ist, so ist  $l_j \geq l_i + 2$ .*

Dies folgt direkt aus Behauptung 3.11 und der Tatsache, dass  $P_i$  und  $P_j$  kürzeste Zunahmepfade sind:

$$l_j = d_j(s, t) = \underbrace{d_j(s, v)}_{\geq d_i(s, v)} + \underbrace{d_j(v, t)}_{\geq d_i(v, t)} \geq \underbrace{d_i(s, v)}_{d_i(s, u)+1} + \underbrace{d_i(v, t)}_{d_i(u, t)+1} = l_i + 2.$$

Da jeder Zunahmepfad  $P_i$  mindestens eine kritische Kante enthält und  $E \cup E^R$  höchstens  $m$  Kantenpaare der Form  $\{e, e^R\}$  enthält, impliziert schließlich folgende Behauptung, dass  $k \leq mn/2$  ist.

**Behauptung 3.15.** *Zwei Kanten  $e$  und  $e^R$  sind zusammen höchstens  $n/2$ -mal kritisch.*

Seien  $P_{i_1}, \dots, P_{i_h}$ ,  $i_1 < \dots < i_h$ , die Pfade, in denen  $e$  oder  $e^R$  kritisch ist. Falls  $e' \in \{e, e^R\}$  kritisch in  $P_{i_j}$  ist, dann verschwindet  $e'$  aus  $N_{f_{i_{j+1}}}$ . Damit also  $e$  oder  $e^R$  kritisch in  $P_{i_{j+1}}$  sein können, muss ein Pfad  $P_{j'}$  mit  $i_j < j' \leq i_{j+1}$  existieren, der  $e'^R$  enthält. Wegen Behauptung 3.11 und Behauptung 3.14 ist  $l_{i_{j+1}} \geq l_{j'} \geq l_{i_j} + 2$ . Daher ist

$$n - 1 \geq l_{i_h} \geq l_{i_1} + 2(h - 1) \geq 1 + 2(h - 1) = 2h - 1,$$

was  $h \leq n/2$  impliziert. ■

Man beachte, dass der Beweis auch bei Netzwerken mit reellen Kapazitäten seine Gültigkeit behält.

### 3.3 Der Algorithmus von Dinitz

Man kann zeigen, dass sich in jedem Netzwerk ein maximaler Fluss durch Addition von höchstens  $m$  Zunahmepfaden konstruieren lässt (siehe Übungen). Es ist nicht bekannt, ob sich solche Pfade in Zeit  $O(n + m)$  bestimmen lassen. Wenn ja, würde dies auf eine Gesamtlaufzeit von  $O(n + m^2)$  führen. Für dichte Netzwerke (d.h.  $m = \Theta(n^2)$ ) hat der Algorithmus von Dinitz die gleiche Laufzeit  $O(n^2m) = O(n^4)$  und die verbesserte Version ist mit  $O(n^3)$  in diesem Fall sogar noch schneller.

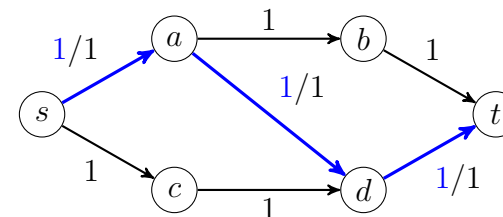
Die Analyse der Laufzeit des Edmonds-Karp-Algorithmus beruht auf der Tatsache, dass der Fluss  $f_{P_i}$  durch den Zunahmepfad  $P_i$ , der in jedem Schleifendurchlauf auf den aktuellen Fluss  $f_i$  addiert wird, auf *mindestens einem* kürzesten Pfad im Restnetzwerk  $N_{f_i}$  eine Kante sättigt. Dies hat zur Folge, dass nicht mehr als  $nm/2$  Zunahmepfade  $P_i$  benötigt werden, um einen maximalen Fluss zu erhalten.

Dagegen addiert der Algorithmus von Dinitz in jedem Schleifendurchlauf auf den aktuellen Fluss  $f_i$  einen Fluss  $g_i$ , der auf *jedem* kürzesten Pfad im Restnetzwerk  $N_{f_i}$  mindestens eine Kante sättigt. Wir werden sehen, dass maximal  $n - 1$  solche Flüsse  $g_i$  benötigt werden.

**Definition 3.16.** Sei  $N = (V, E, s, t, c)$  ein Netzwerk und sei  $g$  ein Fluss in  $N$ . Der Fluss  $g$  **sättigt** eine Kante  $e \in E$ , falls  $g(e) = c(e)$  ist.  $g$  heißt **blockierend**, falls  $g$  mindestens eine Kante  $e$  auf jedem Pfad  $P$  von  $s$  nach  $t$  sättigt.

Nach dem Min-Cut-Max-Flow-Theorem gibt es zu jedem maximalen Fluss  $f$  einen Schnitt  $S$ , so dass alle Kanten in  $E(S)$  gesättigt sind. Da jeder Pfad von  $s$  nach  $t$  mindestens eine Kante in  $E(S)$  enthalten

muss, ist jeder maximale Fluss auch blockierend. Für die Umkehrung gibt es jedoch einfache Gegenbeispiele, wie etwa



Ein blockierender Fluss muss also nicht unbedingt maximal sein. Tatsächlich ist  $g$  genau dann ein blockierender Fluss in  $N$ , wenn es im Restnetzwerk  $N_g$  keinen Zunahmepfad gibt, der nur aus *Vorwärtskanten*  $e \in E$  mit  $g(e) < c(e)$  besteht.

Der Algorithmus von Dinitz berechnet anstelle eines kürzesten Zunahmepfades  $P$  im aktuellen Restnetzwerk  $N_f$  einen blockierenden Fluss  $g$  im Schichtnetzwerk  $N'_f$ . Dieses enthält nur diejenigen Kanten von  $N_f$ , die auf einem kürzesten Pfad mit Startknoten  $s$  liegen. Zudem werden aus  $N'_f$  alle Knoten  $u \neq t$  entfernt, die einen Abstand  $d(s, u) \geq d(s, t)$  in  $N_f$  haben. Der Name rührt daher, dass jeder Knoten in  $N'_f$  einer Schicht  $S_j$  zugeordnet wird.

**Definition 3.17.** Sei  $N = (V, E, s, t, c)$  ein Netzwerk. Das zugeordnete **Schichtnetzwerk** ist  $N' = (V', E', s, t, c')$  mit der Knotenmenge  $V' = S_0 \cup \dots \cup S_r$  und der Kantenmenge

$$E' = \bigcup_{j=1}^r \{(u, v) \in E \mid u \in S_{j-1} \wedge v \in S_j\},$$

sowie der Kapazitätsfunktion

$$c'(e) = \begin{cases} c(e), & e \in E', \\ 0, & \text{sonst,} \end{cases}$$

wobei  $r = 1 + \max\{d(s, u) < d(s, t) \mid u \in V\}$  und

$$S_j = \begin{cases} \{u \in V \mid d(s, u) = j\}, & 0 \leq j \leq r - 1, \\ \{t\}, & j = r. \end{cases}$$

ist und  $d(x, y)$  die Länge eines kürzesten Pfades von  $x$  nach  $y$  in  $N$  bezeichnet.

Der Algorithmus von Dinitz arbeitet wie folgt.

---

**Algorithmus Dinitz**( $V, E, s, t, c$ )
 

---

```

1 for all  $(u, v) \in V \times V$  do
2    $f(u, v) \leftarrow 0$ 
3 while schichtnetzwerk( $f$ ) do
4    $g \leftarrow$  blockfluss( $f$ )
5    $f \leftarrow f + g$ 

```

---

Die Prozedur **schichtnetzwerk**( $f$ ) berechnet in Zeit  $O(n + m)$  das zu  $N_f$  gehörige Schichtnetzwerk  $N'_f$  und gibt den Wert **true** zurück, falls  $t$  in  $N'_f$  von  $s$  aus erreichbar (und somit der aktuelle Fluss  $f$  noch nicht maximal) ist, und sonst den Wert **false**. Die Prozedur **blockfluss**( $f$ ) berechnet einen blockierenden Fluss  $g$  im Schichtnetzwerk  $N'_f$ . Hierfür werden wir 2 Varianten angeben: Eine Prozedur **blockfluss1**, deren Laufzeit durch  $O(nm)$  und eine Prozedur **blockfluss2**, deren Laufzeit durch  $O(n^2)$  beschränkt ist.

Wir beschreiben zuerst die Prozedur **schichtnetzwerk**. Diese Prozedur führt in  $N_f$  eine modifizierte Breitensuche mit Startknoten  $s$  durch und speichert dabei in der Menge  $E'$  nicht nur alle Baumkanten, sondern zusätzlich alle Querkanten  $(u, v)$ , die auf einem kürzesten Weg von  $s$  zu  $v$  liegen. Die Suche bricht ab, sobald  $t$  als Kopf der Schlange erscheint oder alle von  $s$  aus erreichbaren Knoten abgearbeitet wurden. Falls  $t$  erreicht wurde, werden alle Kanten aus  $E'$  entfernt, die nicht zwischen zwei Knoten aus  $V'$  verlaufen.

---

**Prozedur schichtnetzwerk**( $f$ )
 

---

```

1 for all  $v \in V$  do  $\text{niv}(v) \leftarrow n$ 
2  $\text{niv}(s) \leftarrow 0$ 
3  $E' \leftarrow \emptyset$ 
4  $Q \leftarrow (s)$ 
5 while  $Q \neq () \wedge \text{head}(Q) \neq t$  do
6    $u \leftarrow \text{dequeue}(Q)$ 
7   for all  $e = (u, v) \in E \cup E^R$  do
8     if  $c(e) - f(e) > 0 \wedge \text{niv}(v) > \text{niv}(u)$  then
9        $E' \leftarrow E' \cup \{e\}$ 
10       $c'(e) \leftarrow c(e) - f(e)$ 
11      if  $\text{niv}(v) > \text{niv}(u) + 1$  then
12         $\text{niv}(v) \leftarrow \text{niv}(u) + 1$ 
13        enqueue( $Q, v$ )
14  $V' \leftarrow \{v \in V \mid \text{niv}(v) < \text{niv}(t)\} \cup \{t\}$ 
15 if  $\text{head}(Q) = t$  then
16    $E' \leftarrow E' \cap (V' \times V')$ 
17   return true
18 else
19   return false

```

---

Die Laufzeitschranke  $O(n + m)$  folgt aus der Tatsache, dass jede Kante in  $E \cup E^R$  höchstens einmal besucht wird und jeder Besuch mit einem konstantem Zeitaufwand verbunden ist.

Nun kommen wir zur Beschreibung der Prozedur **blockfluss1**. Beginnend mit dem Nullfluss  $g$  bestimmt diese in der repeat-Schleife mittels Tiefensuche einen Zunahmepfad  $P$  in  $N'_{f+g}$ , addiert den Fluss  $(f + g)_P$  zum aktuellen Fluss  $g$  hinzu, und entfernt die gesättigten Kanten  $e \in P$  aus  $E'$ . Der Pfad  $P$  lässt sich hierbei direkt aus dem Inhalt des Kellers  $S$  rekonstruieren, weshalb er **S-Pfad** genannt wird. Falls die Tiefensuche in einem Knoten  $u \neq s$  in einer Sackgasse endet (weil  $E'$  keine von  $u$  aus weiterführenden Kanten enthält), wird die zuletzt besuchte Kante  $(u', u)$  ebenfalls aus  $E'$  entfernt und die Tie-

fensuche vom Startpunkt  $u'$  dieser Kante fortgesetzt (back tracking). Die Prozedur **blockfluss1** bricht ab, falls  $E'$  keine von  $s$  aus weiterführenden Kanten mehr enthält und somit keine weiteren Pfade von  $s$  nach  $t$  in  $N'_{f+g}$  existieren (d.h.  $g$  ist ein blockierender Fluss in  $N'_f$ ).

---

**Prozedur blockfluss1( $f$ )**


---

```

1  for all  $e \in E \cup E^R$  do  $g(e) \leftarrow 0$ 
2   $S \leftarrow (s)$ 
3   $u \leftarrow s$ 
4  done  $\leftarrow$  false
5  repeat
6    if  $\exists e = (u, v) \in E'$  then
7      push( $S, v$ )
8       $c''(e) \leftarrow c'(e) - g(e)$ 
9       $u \leftarrow v$ 
10   elseif  $u = t$  then
11      $P \leftarrow$   $S$ -Pfad von  $s$  nach  $t$ 
12      $c'_g(P) \leftarrow \min\{c''(e) \mid e \in P\}$ 
13     for all  $e \in P$  do
14       if  $c''(e) = c'_g(P)$  then  $E' \leftarrow E' \setminus \{e\}$ 
15        $g(e) \leftarrow g(e) + c'_g(P)$ 
16        $g(e^R) \leftarrow -g(e)$ 
17      $u \leftarrow s$ 
18      $S \leftarrow (s)$ 
19   elseif  $u \neq s$  then
20     pop( $S$ )
21      $u' \leftarrow \text{top}(S)$ 
22      $E' \leftarrow E' \setminus \{(u', u)\}$ 
23      $u \leftarrow u'$ 
24   else done  $\leftarrow$  true
25 until done
26 return  $g$ 

```

---

Die Laufzeitschranke  $O(nm)$  folgt aus der Tatsache, dass sich die Anzahl der aus  $E'$  entfernten Kanten nach spätestens  $n$  Schleifendurchläufen um 1 erhöht.

**Satz 3.18.** *Der Algorithmus von Dinitz durchläuft die while-Schleife höchstens  $(n - 1)$ -mal.*

*Beweis.* Sei  $f_1$  der Nullfluss in  $N$  und seien  $g_1, \dots, g_k$  die blockierende Flüsse, die der Dinitz-Algorithmus der Reihe nach berechnet, d.h.  $f_{i+1} = f_i + g_i$ . Zudem sei  $d_i(u, v)$  die minimale Länge eines Pfades von  $u$  nach  $v$  im Restnetzwerk  $N_{f_i}$ . Wir zeigen, dass  $d_{i+1}(s, t) > d_i(s, t)$  ist. Da  $d_1(s, t) \geq 1$  und  $d_k(s, t) \leq n - 1$  ist, folgt  $k \leq n - 1$ .

**Behauptung 3.19.** *Für jeden Knoten  $u \in V$  gilt  $d_{i+1}(s, u) \geq d_i(s, u)$ .*

Hierzu zeigen wir folgende Behauptung.

**Behauptung 3.20.** *Für jeden kürzesten Pfad  $P = (u_0, \dots, u_h)$  von  $u_0 = s$  nach  $u_h = u$  in  $N_{f_{i+1}}$  (d.h.  $d_{i+1}(s, u_j) = j$  für  $j = 0, \dots, h$ ) gilt  $d_i(s, u_j) \leq d_i(s, u_{j-1}) + 1$  für  $j = 1, \dots, h$ .*

Die Behauptung ist klar, wenn die Kante  $e = (u_{j-1}, u_j)$  auch in  $N_{f_i}$  enthalten ist. Ist dies nicht der Fall, muss  $f_{i+1}(e) \neq f_i(e)$  sein, d.h.  $g_i(e)$  muss ungleich 0 sein. Da  $e$  nicht in  $N_{f_i}$  und somit auch nicht in  $N'_{f_i}$  enthalten ist, muss  $e^R = (u_j, u_{j-1})$  in  $N'_{f_i}$  sein. Da  $N'_{f_i}$  nur Kanten auf kürzesten Pfaden mit Startknoten  $s$  enthält, folgt  $d_i(s, u_{j-1}) = d_i(s, u_j) + 1$ , was  $d_i(s, u_j) = d_i(s, u_{j-1}) - 1 \leq d_i(s, u_{j-1}) + 1$  impliziert. Damit ist Behauptung 3.20 bewiesen und es folgt

$$d_i(s, u) \leq d_i(s, u_{h-1}) + 1 \leq \dots \leq d_i(s, s) + h = h = d_{i+1}(s, u),$$

womit auch Behauptung 3.19 bewiesen ist. Nun zeigen wir folgende Behauptung.

**Behauptung 3.21.** *Für  $i = 1, \dots, k - 1$  gilt  $d_{i+1}(s, t) > d_i(s, t)$ .*

Sei  $P = (u_0, u_1, \dots, u_h)$  ein kürzester Pfad von  $s = u_0$  nach  $t = u_h$  in  $N_{f_{i+1}}$ . Dann gilt wegen Behauptung 3.19, dass  $d_i(s, u_j) \leq d_{i+1}(s, u_j) = j$  für  $j = 0, \dots, h$  ist, also insbesondere  $d_i(s, t) \leq d_{i+1}(s, t) = h$ .

Wir betrachten zwei Fälle. Wenn alle Knoten  $u_j$  in  $N'_{f_i}$  enthalten sind, führen wir die Annahme  $d_i(s, t) = d_{i+1}(s, t)$  wie folgt auf einen Widerspruch. Wegen Behauptung 3.20 folgt aus dieser Annahme nämlich die Gleichheit  $d_i(s, u_j) = d_i(s, u_{j-1}) + 1$ , da sonst  $d_i(s, t) < h$  wäre. Folglich ist  $P$  auch ein kürzester Pfad von  $s$  nach  $t$  in  $N_{f_i}$  und somit  $g_i$  kein blockierender Fluss in  $N_{f_i}$ .

Es bleibt der Fall, dass mindestens ein Knoten  $u_j$  nicht in  $N'_{f_i}$  enthalten ist. Sei  $u_j$  der erste Knoten auf  $P$ , der nicht in  $N'_{f_i}$  enthalten ist. Dann ist  $u_j \neq t$  und daher  $d_{i+1}(s, t) > d_{i+1}(s, u_j)$ . Zudem liegt die Kante  $e = (u_{j-1}, u_j)$  nicht nur in  $N_{f_{i+1}}$ , sondern wegen  $f_{i+1}(e) = f_i(e)$  (da weder  $e$  noch  $e^R$  zu  $N'_{f_i}$  gehören) auch in  $N_{f_i}$ . Da somit  $u_{j-1}$  in  $N'_{f_i}$  und  $e$  in  $N_{f_i}$  ist, kann  $u_j$  nur aus dem Grund nicht zu  $N'_{f_i}$  gehören, dass  $d_i(s, u_j) = d_i(s, t)$  ist. Daher folgt wegen  $d_{i+1}(s, u_{j-1}) \geq d_i(s, u_{j-1})$  (Behauptung 3.19) und  $d_i(s, u_{j-1}) + 1 \geq d_i(s, u_j)$  (Behauptung 3.20)

$$d_{i+1}(s, t) > d_{i+1}(s, u_j) = \underbrace{d_{i+1}(s, u_{j-1})}_{\geq d_i(s, u_{j-1})} + 1 \geq d_i(s, u_j) = d_i(s, t). \quad \blacksquare$$